

厚生労働科学研究費補助金
(難病・がん等の疾患分野の医療の実用化研究事業)
分担研究報告書

腹圧性尿失禁に対する脂肪組織由来幹細胞を用いた再生治療に
おける新規・筋分化バイオマーカの開発
-脂肪結合蛋白(FABP)と品質評価法の標準化-

研究分担者 山本徳則 名古屋大学大学院医学系研究科 泌尿器科学 准教授
亀井 譲 名古屋大学大学院医学系研究科 形成外科学 教授

研究要旨

前年度は腹圧性尿失禁の再生治療に用いる脂肪由来幹細胞(ASCs)からFABPが分泌され、オートクリーン、パラクリーンに作用して、筋分化を促進することを遺伝子解析(カスケード解析)を用いてin vitroで明らかにした。今回は、筋分化について、さらにネットワーク解析及びExpression profile解析を用いて確認した。次に、メタボローム解析を行い、この現象は、ASCsが脂質の分解、取り込み、TCA回路亢進を介して行っていることを明らかにした。In vivoにおいてFABPは、代謝亢進を介したASCsの新規・筋分化バイオマーカとなる可能性が示唆された。

A. 研究目的

本研究は、ヒト脂肪由来幹細胞として自己皮下脂肪組織由来幹細胞を(再生細胞: Adipose Derived Regenerative Cells: ADRCs)分離採取し、経尿道的内視鏡下に傍尿道に注入・移植することで、尿道括約筋再生により尿失禁の改善を図ることを目標とする。近年、脂肪前駆細胞は炎症性マクロファージにも分化しうることが明らかとなり、ASCsを炎症細胞ではなく、組織間葉系細胞へ分化・再生させるための品質評価法の確立が求められている。その際、脂肪由来幹細胞の分化マーカーとして注目されるのが、脂肪酸結合蛋白質(Fatty Acid Binding Protein; FABP)である。FABP

は、細胞質内の脂肪酸と結合しミトコンドリアやペルオキシソームへ輸送することにより 酸化を促し、エネルギー产生・恒常性の維持に寄与すると考えられる分子量約14kDaの蛋白質である。脂肪細胞やマクロファージにはA型(aP2とも呼ばれる)腎臓の近位尿細管上皮細胞にはL型、内皮細胞や転移性の癌細胞にはC型(E型とも呼ばれる)のFABPが発現することが知られている。近年、脂肪細胞由来A-FABPがオートクライイン、あるいはパラクライインに働き、炎症性マクロファージの活性化、分化誘導を引き起こすことが報告された。そこで本研究では、移植した脂肪由来幹細胞が適切に組織間葉系細胞へ分化・再生し得ること

を検証するため、ADSCs を用いた A-FABP, C-FABP の発現パターンの標準化を品質管理可能な評価法として採用できるのではないかと考えた。

- 本報告書では、下記内容について述べる
- 1)ヒト脂肪由来幹細胞に関連する微小環境因子・脂肪酸結合蛋白(FABP)を検出しうる抗体の大量調製
 - 2)ヒト脂肪由来幹細胞に関連する微小環境因子・脂肪酸結合蛋白(FABP)の検出系構築
 - 3)ヒト脂肪由来幹細胞に関連する微小環境因子・脂肪酸結合蛋白(FABP)の高次構造解析
 - 4)ヒト脂肪由来幹細胞に関連する微小環境因子・脂肪酸結合蛋白(FABP)に対する特異抗体を用いた発現解析

B. 研究方法と結果

1. ヒト脂肪由来幹細胞に関連する微小環境因子・脂肪酸結合蛋白(FABP)を検出しうる抗体の大量調製

1-1. マウスへのC-FABP免疫

取得したヒト C-FABP 組換え蛋白質を用いて3匹のMRL/MpJマウスに免疫を行った。免疫スケジュールを図1に示す。

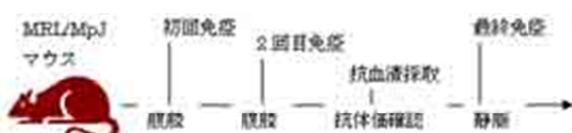


図1. 免疫スケジュール

1-2. 抗体価確認

2回目免疫の10日後に採取した免疫マウス血清に対して、ELISA アッセイとドットプロット及びウエスタンプロットを用いて、C-FABP に対する抗体価を確認した。

a. ELISA アッセイ

タンパク質固相化用プレートに C-FABP 及び L-FABP を固相化したプレートを作製した。一方、得られた3匹のマウスからそれぞれ血清を採取し(A, B, C) 3倍から100倍希釈の系列を作製し、本固相化プレートに添加して反応性を確認した。図2に血清の抗体価確認の結果を示す。グラフはマウス A, B, C をそれぞれ青、緑、赤のラインで示し、コントロールとして Normal Mouse Serum (NMS) を評価した。

その結果、C-FABP に対しては3匹ともほぼ同等の抗体価上昇が確認された。L-FABP に対しては、マウス A のみ抗体価が低く、他の2匹は同様の抗体価が確認された。

b. ドットプロット

精製した C-, L-FABP と市販の I-, H-, B-FABP を親水化した PVDF 膜上に任意の濃度で液滴を作成した(メンブレン上の FABP 配置図は図3の上に示す)。膜上の液滴が乾燥したことを確認後、5%スキムミルクを含んだ TBS-T (20 mM Tris-HCl, 150 mM NaCl, 0.05% Tween20) で30分間ブロッキングを行った。ブロッキング後、メンブレンを TBS-T で3回洗浄し、Can Get Signal (Wako) Solution 1 で1000倍に希釈したマウス抗血清 A, B, C をそれぞれ反応させ、室温で1時間静置した。反応後、メンブレンを TBS-T で3回洗浄を行い、Can Get Signal Solution 2 で2000倍に希釈した Anti mouse IgG, HRP linked Antibody を反応させ、室温で1時間静置した。反応後、メンブレンを TBS-T で3回洗浄を行い、ECL Plus Western Blotting Detection Reagents

を用いて発光させバンドを検出した(図3の最下段)。なお、メンブレンへのFABPの固定の確認のため弊社保持のC-FABP pAbを用いて検出を行った(図3の中段)。その結果、マウスA, B, Cどの抗血清においてもC-FABPに対するドットが確認された。一方L-FABPに対してはどの血清も反応性を示していたが、強度としてはマウスB, C > Aとなっており、これはELISAの結果と一致した傾向となった。また、I-, H-, B-に対しても共通して反応性が確認されており強度としてはB>C>Aであった。

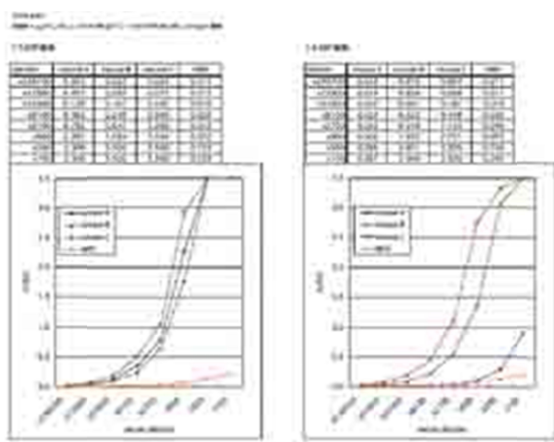


図2. マウス抗血清のELISA検定

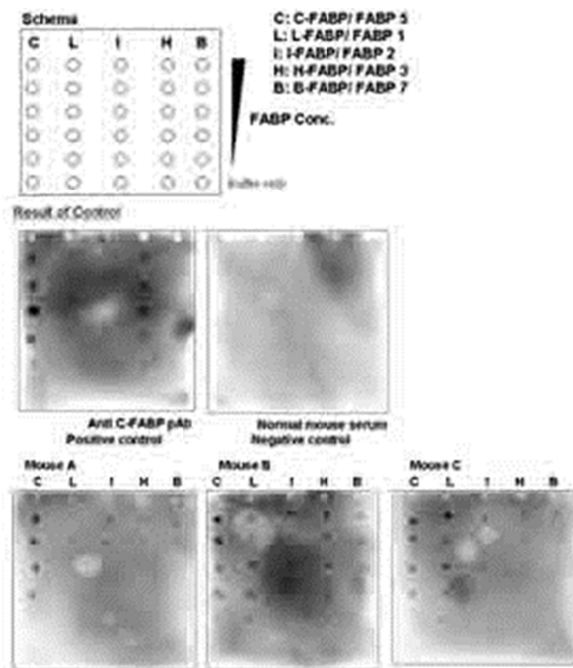


図3. マウス抗血清のドットプロット検定

c. ウエスタンプロット

上記ドットプロットと同様に各種FABPを任意の濃度でNuPAGE 4-12%ビス-トリスゲルにアプライし、NuPAGE MES SDSランニングバッファーにて200V, 35分間電気泳動を行った。泳動後、ゲルをPVDF膜に転写した。以下の作業は上記ドットプロットと同様のプロトコルにて検出を行った(図4)。

その結果、どのマウス抗血清においてもC-FABPに対する反応性が確認された。一方L-FABPに対してはどの血清も反応性を示していたが、強度としてはマウスB, C > Aとなっており、これはELISA、ドットプロットの結果と一致した傾向となった。また、マウスB, CにおいてはI-, H-, B-に対しても共通して反応性が確認されており、マウスAは僅かにB-FABPへの反応性が確認された。

以上より、C-FABPに比較的強く反応するマウスAと、他のFABPタイプにも広

く反応するマウス B を次の工程に進めるこことした。

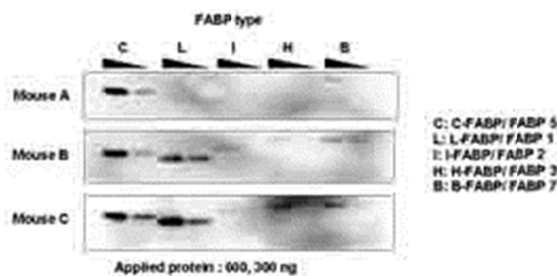


図4. マウス抗血清のウェスタンプロット検定

1-3. 細胞融合

マウス A, B から脾臓を採材し、B 細胞を取得した。本細胞を標準的な PEG 法を用いてミエローマ細胞と細胞融合させ、抗体産生細胞を作製した。得られた細胞について ELISA 及び、ドットプロットを用いて抗体のスクリーニングを行った。上記と同様の方法で ELISA, ドットプロットを実施したまとめを表 1 に示す。その結果 C-FABP に特異的に反応する抗体産生細胞を 9 クローン、様々な FABP タイプに広く反応する抗体産生細胞を 10 クローン取得した。

表1. 抗C-FABP抗体産生融合細胞スクリーニング

Clone No.	ELISA screening OD value		Dot Blot					
	C-FABP	L-FABP	Reactive	+	+	+	+	-
TA-A	0.000	0.000	反応無	—	—	—	—	—
TA-K	0.000	0.000	反応無	—	—	—	—	—
TA-W	0.000	0.000	反応無	—	—	—	—	—
TA-J	0.000	0.000	反応無	—	—	—	—	—
TA-R	0.000	0.000	反応無	—	—	—	—	—
TA-I	0.000	0.000	反応無	—	—	—	—	—
TA-H	0.000	0.000	反応無	—	—	—	—	—
TA-S	0.000	0.000	反応無	—	—	—	—	—
TA-L	0.000	0.000	反応無	—	—	—	—	—
TA-C	0.000	0.000	反応無	—	—	—	—	—
TA-M	0.000	0.000	反応無	—	—	—	—	—
TA-D	0.000	0.000	反応無	—	—	—	—	—
TA-E	0.000	0.000	反応無	—	—	—	—	—
TA-F	0.000	0.000	反応無	—	—	—	—	—
TA-G	0.000	0.000	反応無	—	—	—	—	—
TA-P	0.000	0.000	反応無	—	—	—	—	—
TA-Q	0.000	0.000	反応無	—	—	—	—	—
TA-R	0.000	0.000	反応無	—	—	—	—	—
TA-T	0.000	0.000	反応無	—	—	—	—	—
TA-U	0.000	0.000	反応無	—	—	—	—	—
TA-V	0.000	0.000	反応無	—	—	—	—	—
TA-W	0.000	0.000	反応無	—	—	—	—	—
TA-X	0.000	0.000	反応無	—	—	—	—	—
TA-Y	0.000	0.000	反応無	—	—	—	—	—
TA-Z	0.000	0.000	反応無	—	—	—	—	—
TA-A1	0.000	0.000	反応無	—	—	—	—	—
TA-B1	0.000	0.000	反応無	—	—	—	—	—
TA-C1	0.000	0.000	反応無	—	—	—	—	—
TA-D1	0.000	0.000	反応無	—	—	—	—	—
TA-E1	0.000	0.000	反応無	—	—	—	—	—
TA-F1	0.000	0.000	反応無	—	—	—	—	—
TA-G1	0.000	0.000	反応無	—	—	—	—	—
TA-H1	0.000	0.000	反応無	—	—	—	—	—
TA-I1	0.000	0.000	反応無	—	—	—	—	—
TA-J1	0.000	0.000	反応無	—	—	—	—	—
TA-K1	0.000	0.000	反応無	—	—	—	—	—
TA-L1	0.000	0.000	反応無	—	—	—	—	—
TA-M1	0.000	0.000	反応無	—	—	—	—	—
TA-N1	0.000	0.000	反応無	—	—	—	—	—
TA-O1	0.000	0.000	反応無	—	—	—	—	—
TA-P1	0.000	0.000	反応無	—	—	—	—	—
TA-Q1	0.000	0.000	反応無	—	—	—	—	—
TA-R1	0.000	0.000	反応無	—	—	—	—	—
TA-S1	0.000	0.000	反応無	—	—	—	—	—
TA-T1	0.000	0.000	反応無	—	—	—	—	—
TA-U1	0.000	0.000	反応無	—	—	—	—	—
TA-V1	0.000	0.000	反応無	—	—	—	—	—
TA-W1	0.000	0.000	反応無	—	—	—	—	—
TA-X1	0.000	0.000	反応無	—	—	—	—	—
TA-Y1	0.000	0.000	反応無	—	—	—	—	—
TA-Z1	0.000	0.000	反応無	—	—	—	—	—
TA-A2	0.000	0.000	反応無	—	—	—	—	—
TA-B2	0.000	0.000	反応無	—	—	—	—	—
TA-C2	0.000	0.000	反応無	—	—	—	—	—
TA-D2	0.000	0.000	反応無	—	—	—	—	—
TA-E2	0.000	0.000	反応無	—	—	—	—	—
TA-F2	0.000	0.000	反応無	—	—	—	—	—
TA-G2	0.000	0.000	反応無	—	—	—	—	—
TA-H2	0.000	0.000	反応無	—	—	—	—	—
TA-I2	0.000	0.000	反応無	—	—	—	—	—
TA-J2	0.000	0.000	反応無	—	—	—	—	—
TA-K2	0.000	0.000	反応無	—	—	—	—	—
TA-L2	0.000	0.000	反応無	—	—	—	—	—
TA-M2	0.000	0.000	反応無	—	—	—	—	—
TA-N2	0.000	0.000	反応無	—	—	—	—	—
TA-O2	0.000	0.000	反応無	—	—	—	—	—
TA-P2	0.000	0.000	反応無	—	—	—	—	—
TA-Q2	0.000	0.000	反応無	—	—	—	—	—
TA-R2	0.000	0.000	反応無	—	—	—	—	—
TA-S2	0.000	0.000	反応無	—	—	—	—	—
TA-T2	0.000	0.000	反応無	—	—	—	—	—
TA-U2	0.000	0.000	反応無	—	—	—	—	—
TA-V2	0.000	0.000	反応無	—	—	—	—	—
TA-W2	0.000	0.000	反応無	—	—	—	—	—
TA-X2	0.000	0.000	反応無	—	—	—	—	—
TA-Y2	0.000	0.000	反応無	—	—	—	—	—
TA-Z2	0.000	0.000	反応無	—	—	—	—	—

1-4. 作製抗体の大量調製

1-3 で取得したクローネンのうち、C-FABP に対する反応特異性の強い Clone No.

TA-A, TA-K, TA-W と、他のアイソタイプにも反応する TA-J, TA-R について再度クローニングを行った後、マウス腹水化し精製を行うことで抗体の大量調製を行った。

マウス腹水化は 7~8 週齢のヌードマウスにプリスタンを 0.5mL/匹で腹腔内接種した。2~3 週間後、マウスに抗体産生細胞を 1×10^7 個腹腔内に接種した。さらに約 2 週間後、マウスが腹水化されたところで腹水を採取し、得られた腹水は硫酸アセト酸法により抗体の精製を行った。精製された抗体の IgG クラスはマイクロオクタニー法によって同定した。その結果、表 2 に示すように IgG1 の TA-A, TA-R と、IgG2a の TA-K, TA-W 及び、IgM の TA-J のモノクローナル抗体を取得した。

これらの抗体の反応性を確認するために、C-FABP 抗原を用いたタイトルーションアッセイを行った。各種抗原 (C-FABP, L-FABP) を $1 \mu\text{g/mL}$ (10mM PBS, 1mM EDTA1Na, pH7.2) $50 \mu\text{L}/\text{well}$ でプレートに分注し、4 度で一晩静置して抗原固相化プレートを作製した。本固相化プレートを用い、洗浄及びブロッキングを行った後、1 次反応として抗体濃度 $3 \mu\text{g/mL} \times 3$ 倍希釈系列、 $50 \mu\text{L}/\text{well}$ で分注し、室温にて 1 時間反応させた。反応プレートを洗浄後、次いで 2 次反応として、HRP 標識抗マウス IgG+M ポリクローナル抗体を $50 \mu\text{L}/\text{well}$ で室温にて 1 時間反応させた。反応プレートを洗浄後、TMB 試薬 (ScyTek) を分注し、室温にて 30 分間発色反応を行った。本タイトルーションアッセイの結果を図 5 に示す。その結果、IgM である TA-J は L-FABP に特異的な抗体であることが判明し、その他 4 種類は C-FABP 特異的な親和性を持

つ抗体であることが確認された。さらに上記4種の抗体については図6においてC-FABPのSDS-PAGE後ウエスタンプロットすることで反応を確認した。

表2. 精製モノクローナル抗体のIgクラス

No.	Clone No.	Ig class
1	TA-A	IgG1 (κ)
2	TA-J	IgM (κ)
3	TA-K	IgG2a (κ)
4	TA-R	IgG1 (κ)
5	TA-W	IgG2a (κ)

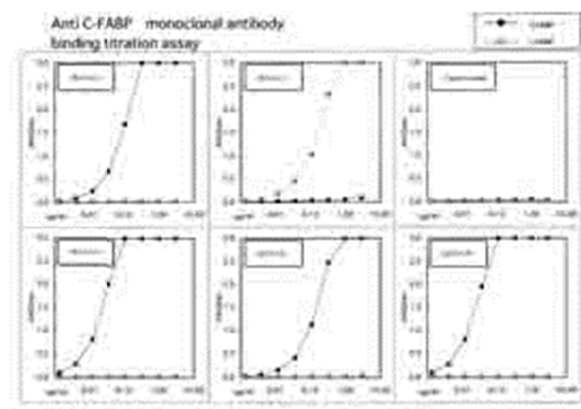


図5. 精製モノクローナル抗体を用いた比活性検定

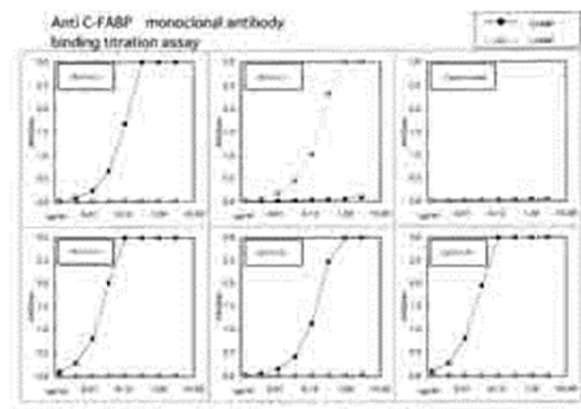


図6. 精製モノクローナル抗体を用いたウエスタンプロット

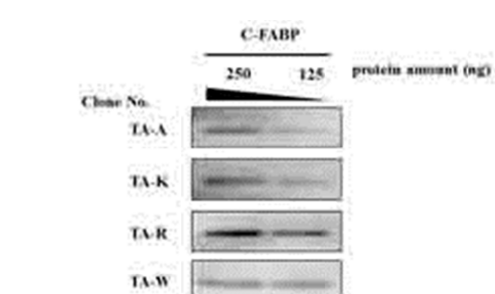


図6. 精製モノクローナル抗体を用いたウエスタンプロット
1st anti-body : Anti C-FABP mAb (x 2000 dilution)
2nd anti-body : Anti mouse IgG-HRP (x 2500 dilution)

2. ヒト脂肪由来幹細胞に関連する微小環境因子・脂肪酸結合蛋白(FABP)の検出系構築

2-1. サンドイッチELISA系の設計

上記「1. ヒト脂肪由来幹細胞に関連する微小環境因子・脂肪酸結合蛋白(FABP)を検出しうる抗体の大量調製」の項で得られた抗ヒトC-FABPマウスモノクローナル抗体4種を用い、サンドイッチELISA法によって試料中C-FABP量を測定する系を構築した。今回は感度の上昇を図るためにビオチン-アビジン反応系を用いた検出系を設計した(図7)。

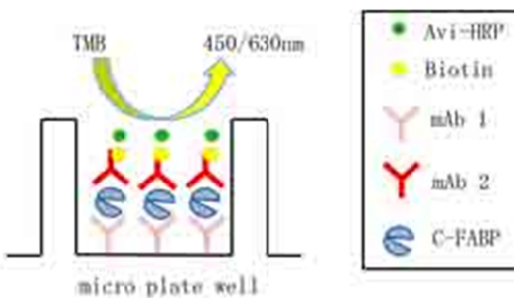


図7. C-FABP検出ELISA系の設計

2-2. アッセイ構築条件検討

a. ビオチン標識検出抗体の調製

4種のモノクローナル抗体それぞれに対してBiotin Labeling kit-NH₂(DOJINDO, LK03)を用いて抗体のビオチン化を行った。方法はキット添付操作マニュアルに従って行った。

得られたビオチン化抗体のビオチン化

を確認するために、C-FABP 直接固相化 ELISA を行った。50 mM 炭酸・炭酸水素緩衝液, pH9.6 を希釈液として、C-FABP を 100ug, 10ug, 1ug, 100ng, 10ng, 1ng, 0.1ng, 0ng /well となるように C8 MAXISORP NUNC-IMMUNOMODULE (Thermo SCIENTIFIC, 445101) に分注し、4 で一晩固相化反応を行った。抗原固相化プレートを PBS-T (0.1 M リン酸緩衝液, pH7.6, 150 mM NaCl, 0.05% Tween 20) 300 μL/well × 3 回洗浄を行った。次にプロッキングバッファー (0.1 M リン酸緩衝液, pH7.6, 150 mM NaCl, 2% BSA) を 200 μL/well で添加し、25 にて 1 時間プロッキングを行った。プロッキング後、PBS-T を用いて 3 回洗浄を行い、各種ビオチン化モノクローナル抗体を 0.2 μg/mL で 100 μL/well ずつ分注し、25, 2 時間反応を行った。その後、PBS-T で 3 回洗浄を行い、Avidin-HRP (1000 倍希釈) 溶液を 100 μL/well ずつ分注し 25, 1 時間反応を行った。反応後、再度 PBS-T にて 3 回洗浄を行い、TMB One Component HRP Microwell Substrate (SurMedics, TMBW-1000-01) を 100 μL/well ずつ分注し 25, 10 分間反応を行った。反応後、反応停止液 (1N 硫酸) を 100 μL/well ずつ添加し反応を停止した後、プレートの端を軽く叩き攪拌して、SPECTRAmax 340PC³⁸⁴ を用いて主波長 450nm/副波長 630nm の吸光度を測定した。得られた測定値は抗原濃度 0 ng/mL の OD (Blank) を差し引いた値で解析を行った。その結果、TA-A, TA-K, TA-R, TA-W 全てのビオチン化モノクローナル抗体において抗原濃度依存的なシグナルの上昇が確認された(図 8)。また図 8 の反応曲線から、抗体の抗原に対する親和性は TA-A>TA-K>TA-R=TA-W であると

考えられた。

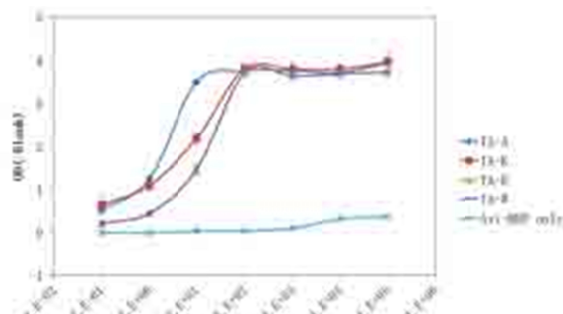


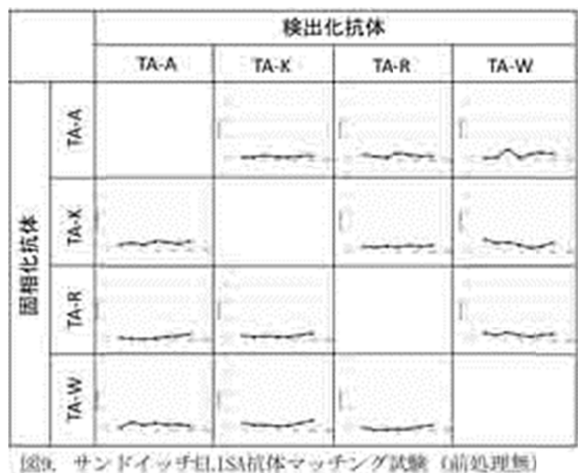
図8. ビオチン化検出抗体の評価

b. サンドイッチ ELISA 抗体マッチング

50 mM リン酸緩衝液, pH7.5 を希釈液として、各種抗体を 1 μg/well となるように C8 MAXISORP NUNC-IMMUNOMODULE (Thermo SCIENTIFIC, 445101) に分注し、4 で一晩固相化反応を行った。抗体固相化プレートを洗浄液 (50 mM リン酸緩衝液, pH7.5, 3% スクロース, 0.05% BSA, 0.05% Tween 20) 300 μL/well × 3 回洗浄を行い室温にて 3 時間静置した。次に Well 内液を除いた後、プロッキングバッファー (50 mM リン酸緩衝液, pH7.5, 3% スクロース, 0.05% BSA) を 200 μL/well 添加し、25 にて 1 晚プロッキングを行った。プロッキング後、内液を除き減圧デシケーター (0.085 MPa) で一晩プレートを乾燥させ抗体固相化プレートとした。

スタンダード希釈液 (ダルベッコリン酸緩衝液, 1% BSA, 0.05% アジ化ナトリウム) を用いて C-FABP 組換え蛋白質を 10000, 2000, 400, 80, 16, 3.2, 0.64 ng/mL の濃度に希釈し、予め反応緩衝液 (0.1 M HEPES-NaOH, pH7.5, 0.15 M NaCl, 0.1% アジ化ナトリウム, 1% BSA) で満たした抗体固相化プレートに分注し、25 で 1 時間反応させた。反応後、PBS-T を用いて 3 回洗浄を行い、上記の各種ビオチン化モノクローナル抗体を 0.2 μ

g/mL で $100 \mu\text{L}/\text{well}$ ずつ分注し、25℃, 1時間反応を行った。その後、PBS-Tで3回洗浄を行い、Avidin-HRP (1000倍希釈)溶液を $100 \mu\text{L}/\text{well}$ ずつ分注し25℃, 1時間反応を行った。反応後、再度 PBS-Tにて3回洗浄を行い、TMB One Component HRP Microwell Substrate (SurMedics, TMBW-1000-01)を $100 \mu\text{L}/\text{well}$ ずつ分注し25℃で10分間反応を行った。反応後、反応停止液 (1N 硫酸)を $100 \mu\text{L}/\text{well}$ ずつ添加し反応を停止した後、プレートの端を軽く叩き攪拌した後、SPECTRAmax 340PC³⁸⁴ を用いて主波長 450nm/副波長 630nm の吸光度を測定した。得られた測定値は抗原濃度 0 ng/mL の OD (Blank)を差し引いた値で解析を行った(図9)。その結果、どの組み合わせも C-FABP 最大濃度 $10 \mu\text{g/mL}$ においてもシグナルの上昇が確認されなかった。



上記の結果、どの抗体の組み合わせにおいても ELISA シグナルが検出されなかったことから、抗原の前処理を検討した。

c. 前処理検討

抗体固相化プレートに C-FABP を分注する前に、前処理液として 40 mM AAPH (ラジカル発生剤), 2% SDS, 2% SDS+10 mM DTT, 3% H_2O_2 , 1.6 M 塩酸グアニジン

(Gu-HCl)溶液を用いて C-FABP と 1:1 で混合し、25℃にて10分間前処理反応を行い、上記と同様の操作で ELISA 反応を行った。得られた測定値は抗原濃度 0 ng/mL の OD (Blank)を差し引いた値で解析を行った(図10)。その結果、どの前処理でも ELISA の値が上昇しない抗体の組み合わせがある一方で、SDS, H_2O_2 , Gu-HCl の前処理によって ELISA 値が上昇する抗体の組み合わせが数組存在した。その中でもっとも低い抗原濃度域から ELISA 値が上昇する前処理と抗体の組み合わせが「前処理 SDS, 固相化 TA-K/検出 TA-R」と「前処理 SDS, 固相化 TA-W/検出 TA-A」であった。そのため以下はこの 2 つの組み合わせについて更なる検討を行った。

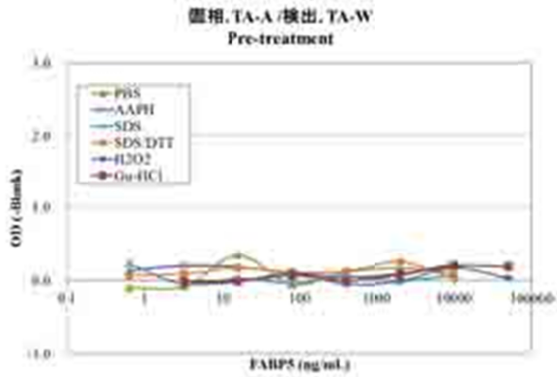
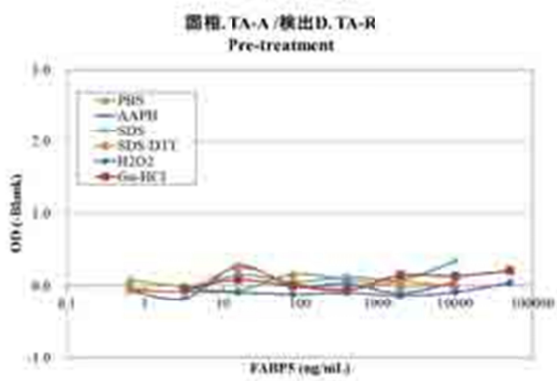
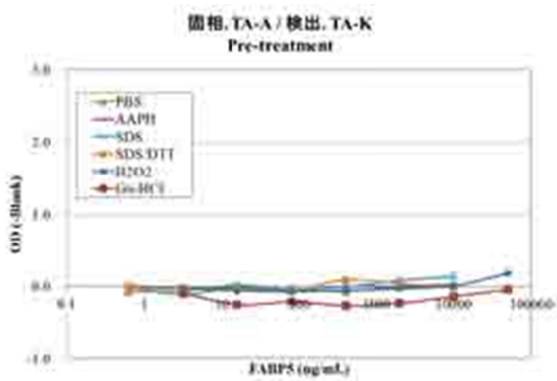


図10-1 サンドイッチELISA抗体マッチング試験（前処理検討）

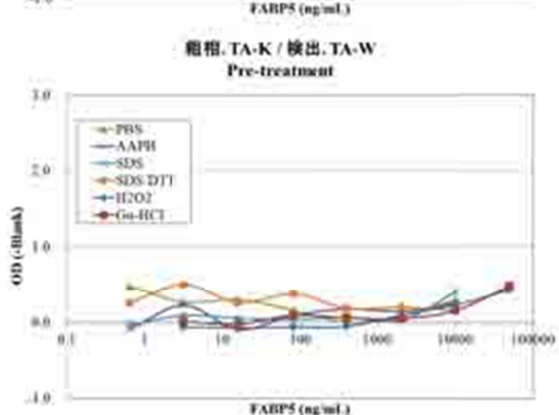
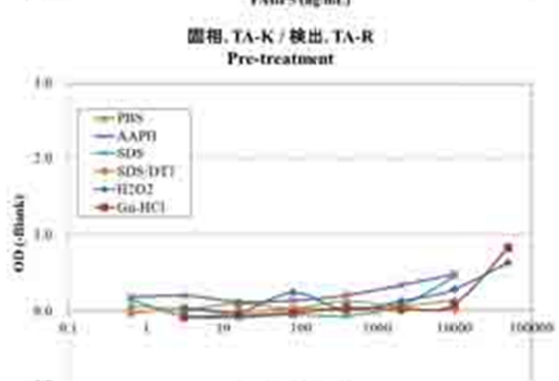
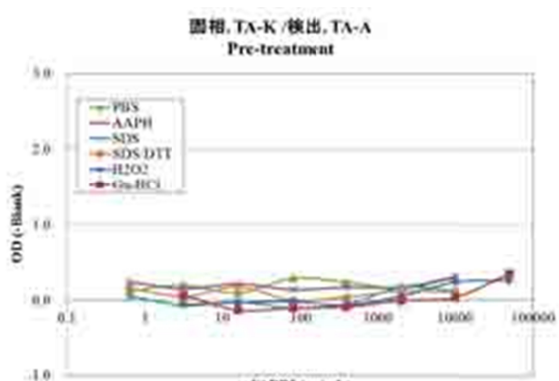
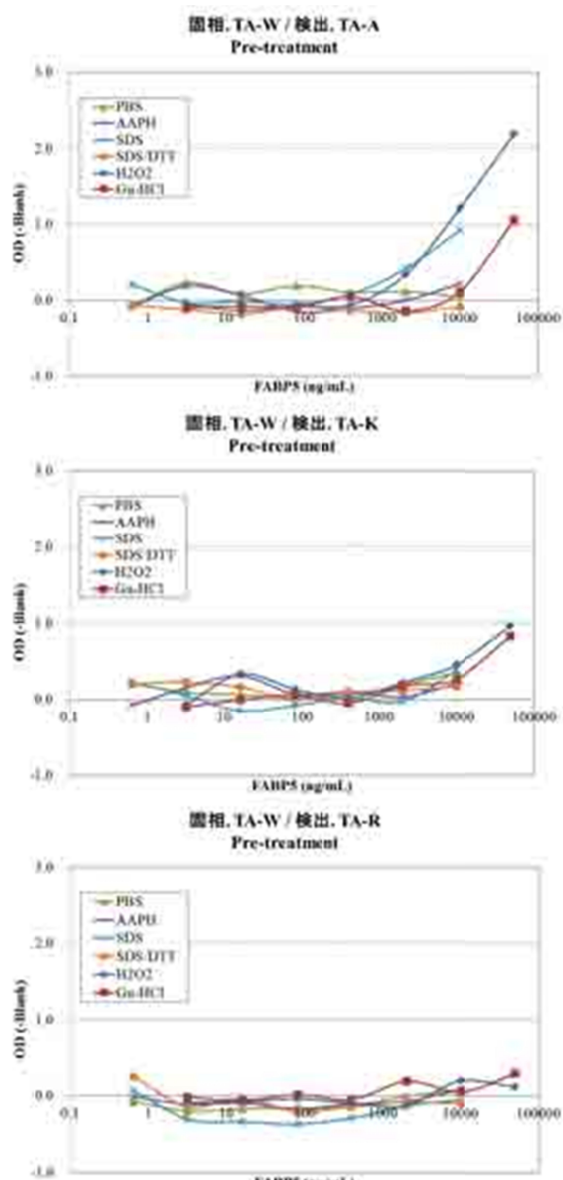
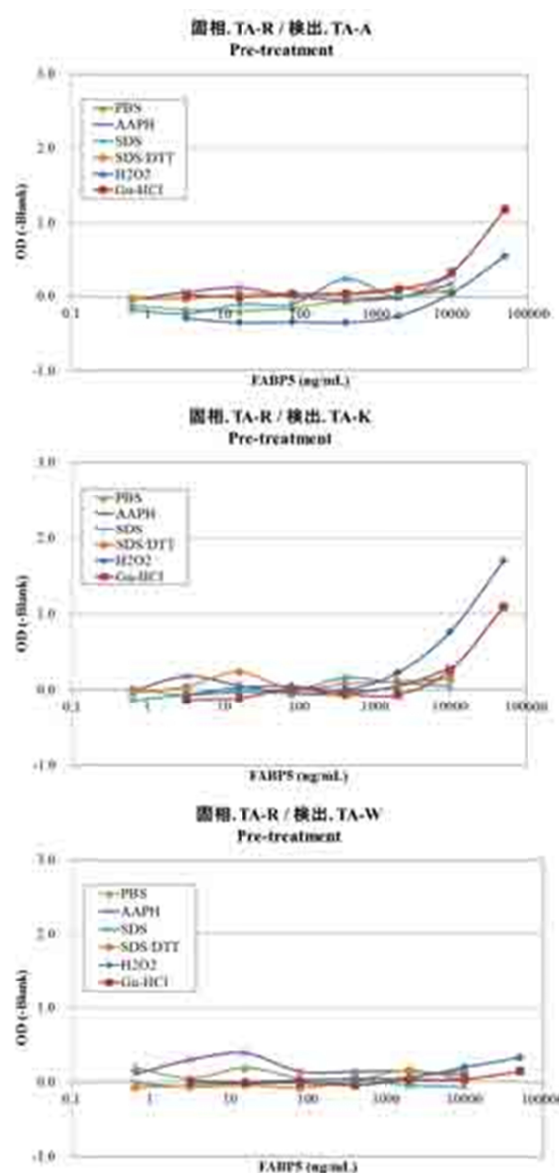


図10-2 サンドイッチELISA抗体マッチング試験（前処理検討）



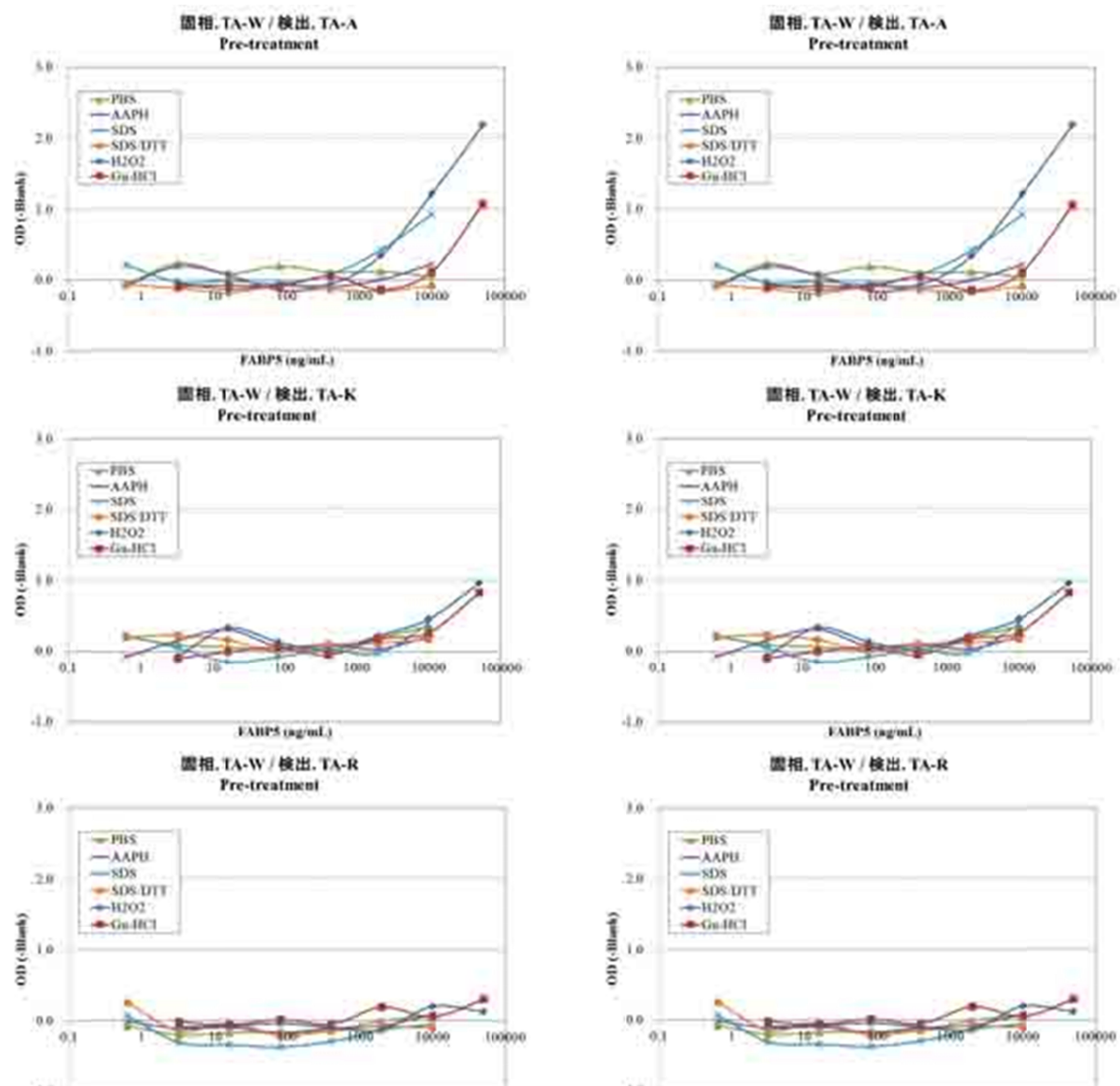


図10-4 サンドイッチELISA抗体マッチング試験（前処理検討）

d. 各種条件検討

上記で選択した前処理・固相/検出抗体の組み合わせにおける固相抗体濃度の最適化検討を行った。

抗体固相化プレート作製時に固相化する抗体量を 5.0, 2.5, 1.0 μg に設定し、上記と同様の操作によって ELISA 反応を行った。その結果、固相 TA-K/検出 TA-R 系においては固相化抗体濃度依存的な ELISA 値の上昇は確認されなかった(図 11A)。一方、固相 TA-W/検出 TA-A

図10-4 サンドイッチELISA抗体マッチング試験（前処理検討）

系においては C-FABP 10 ~ 1000 $\mu\text{g/mL}$ の濃度域で固相化抗体濃度依存的な ELISA 値の上昇が確認された(図 11 B)。しかし、固相化抗体量の增量によるシグナルの增幅効果と最小検出感度の上昇は顕著ではなかったため、原料のコストパフォーマンスの観点から、固相化抗体量は 1 μg と決定した。

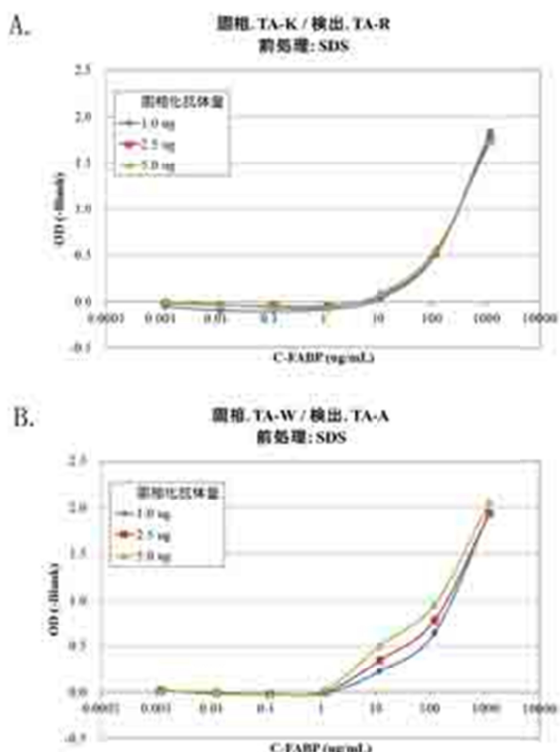


図11. 固相化抗体濃度の検討

次いで、固相化抗体量を 1.0 μg として作製した抗体固相化プレートを用いて、検出抗体濃度の最適化検討を行った。ELISA 反応は上記方法に則り、検出抗体の濃度を 2.0, 4.0, 8.0 $\mu\text{g/mL}$ に設定した。検出抗体濃度上昇に伴いバックグラウンド吸光度の上昇が予想されたため、Avidin-HRP 溶液は 50,000 倍希釈したもの用いて検討した。検討した固相化/検出抗体の組み合わせは「固相.TA-K/検出.TA-R」を図 12 A, B に、「固相.TA-W/検出.TA-A」を図 12 C, D に示す。また、

得られた測定値は、検出 OD(図 12 A, C) と、検出 OD 値から抗原濃度 0 ng/mL の OD(Blank)を差し引いた値(図 12 B, D)で解析を行った

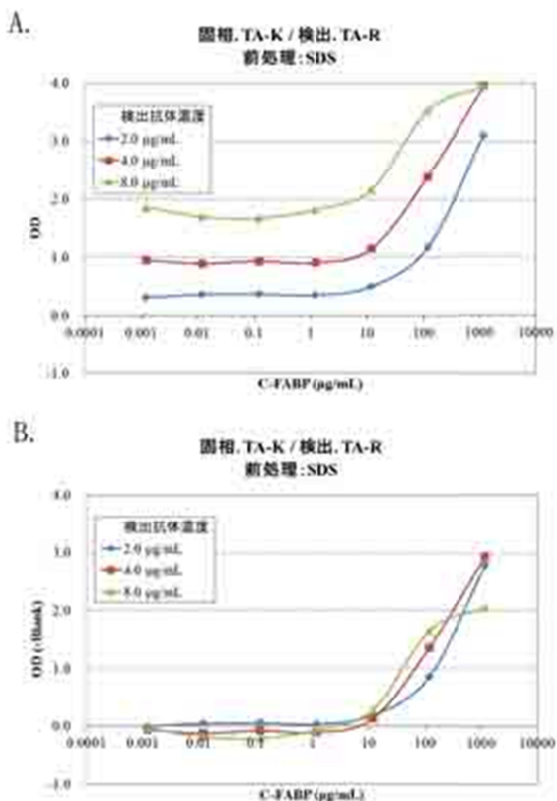


図12-1. 検出抗体濃度の検討

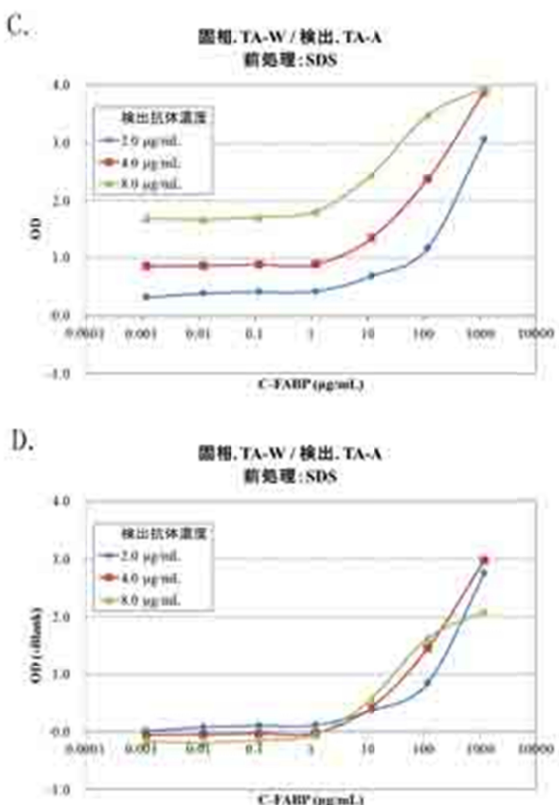


図12-2. 検出抗体濃度の検討

その結果、検出抗体濃度を増加させると、どちらの抗体の組み合わせも検出 OD 値の上昇が確認され、 $8.0 \mu\text{g}/\text{mL}$ では OD 値が 4.0 付近になり反応が飽和に達していることが確認された。しかし、OD (Blank)を差し引いた値での解析では、検出抗体量の增量によるシグナルの增幅効果と最小検出感度の上昇は顕著ではなかった(図 12 B, D)。よって、検出抗体濃度は $2.0 \mu\text{g}/\text{mL}$ とした。

さらに、上記条件(固相化抗体量 $1.0 \mu\text{g}/\text{well}$ 、検出抗体濃度 $2.0 \mu\text{g}/\text{mL}$)の下で Avidin-HRP 溶液濃度の検討を行った。ELISA 反応は上記方法に則り、Avidin-HRP 濃度は原液濃度 $5.0 \text{ mg}/\text{mL}$ の希釈倍率を 5,000 倍($1.0 \mu\text{g}/\text{mL}$)、15,000 倍($0.3 \mu\text{g}/\text{mL}$)、50,000 倍($0.1 \mu\text{g}/\text{mL}$)に設定した。検討した固相化/

検出抗体の組み合わせは「固相.TA-K/検出.TA-R」を図 13 A に、「固相.TA-W/検出.TA-A」を図 13 B に示す。また、得られた測定値は、検出 OD として解析を行った(図 13)。その結果、Avidin-HRP 溶液の希釈倍率の増加に伴いバックグラウンド吸光度の減少が確認された(図 13 A, B)。また、どちらの抗体の組み合わせでも 5,000 倍、15,000 倍希釈共に C-FABP $100 \mu\text{g}/\text{mL}$ において OD 値が 4.0 付近まで上昇し、反応が飽和していることが確認された。よって、Avidin-HRP 溶液濃度は 50,000 倍希釈($0.1 \mu\text{g}/\text{mL}$)とした。

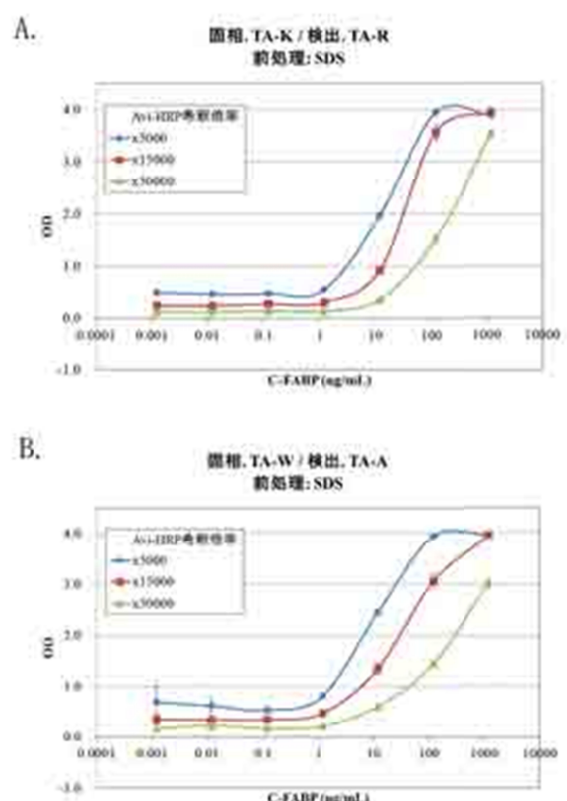


図13. Avidin-HRP濃度の検討

上記条件検討によって得られた C-FABP 検出 ELISA においては最低検出感度が $1 \mu\text{g}/\text{mL}$ 程度であるため感度の上昇が必

要である。そこで、図7で示したELISAの設計の範疇で感度上昇の検討を行うこととした。

先に述べた方法では抗原を前処理液と1:1で混合し、予め100 μLの反応緩衝液を満たした抗体固相化プレートに試料を20 μL添加することとしているが、この段階で反応系中では試料は12倍に希釈されている。この希釈比率を変えることで抗原の添加量の底上げを図ることとした。まず、前処理として用いていいるSDSが固相化抗体-抗原間の一次反応に影響するのかを検討するためにSDS濃度を検討した。

ELISA反応は上記方法に則り、SDS濃度は1.0, 0.75, 0.50, 0.25, 0.17, 0.10%を設定した（先に示した条件は0.17% SDS）。検討した固相化/検出抗体の組み合わせは「固相.TA-K/検出.TA-R」を図14 Aに、「固相.TA-W/検出.TA-A」を図14 Bに示す。また、得られた測定値は、検出ODとして解析を行った（図14）。その結果、SDS濃度0.17~0.25%でELISA値は最大値を示し、0.1% SDSではELISA値は減少することが確認され、0.5% SDS以上ではシグナルが顕著に減弱した。これは0.1% SDSでは抗原の前処理が不十分であり、0.5% SDS以上では一次反応に影響を与え固相化抗体を変性させてしまっているのではないかと考えられる。以上より、SDS濃度は0.25%まで増加させることが可能であると考えられた。

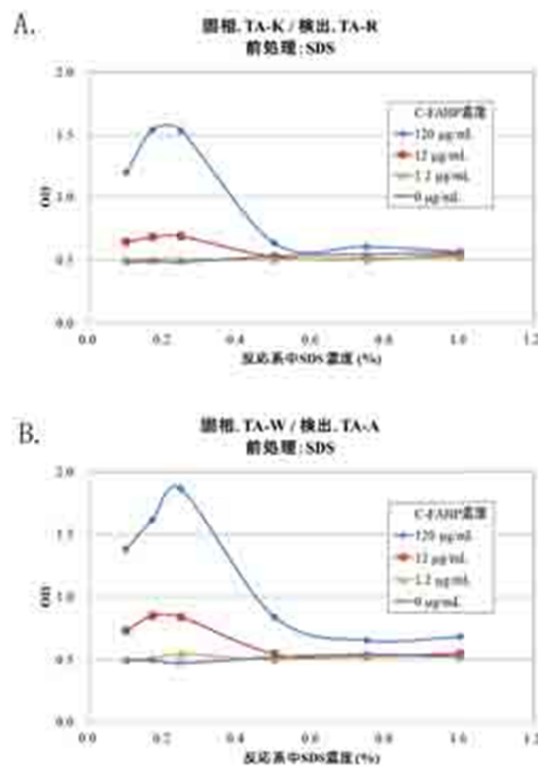


図14. 反応系中の混入SDS濃度の検討

次に上記検討の結果からSDS濃度0.25%に設定した場合の一次反応容量の最適化を検討した。ELISA反応は上記方法に則り、SDS濃度0.25%に固定して一次反応容量を100, 150, 200, 250, 300 μLとした。また、上記条件検討でのSDS濃度0.17%, 容量120 μLも同時に評価した。検討した固相化/検出抗体の組み合わせは「固相.TA-K/検出.TA-R」を図15 Aに、「固相.TA-W/検出.TA-A」を図15 Bに示す。また、得られた測定値は、バックグラウンド吸光度を1としたS/N比を算出し解析を行った（図15）。その結果、どちらの抗体の組み合わせにおいても200 μLでS/N比の上昇が確認された。以上の結果より、一次反応容量は200 μLとすることとした。

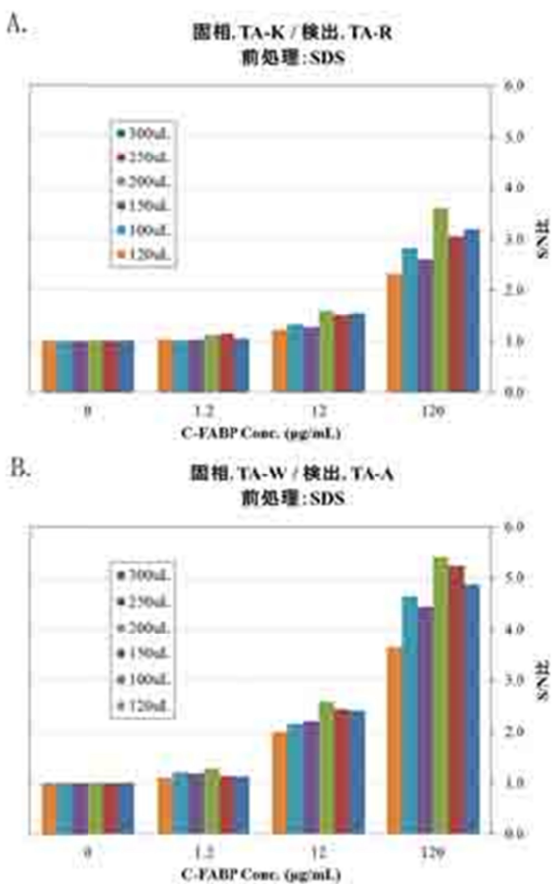


図15. 一次反応の容量検討

上記の各種条件検討によって試験的に決定したアッセイ条件を表3に示す。

表3. アッセイ条件のまとめ

C-FABP検出ELISAアッセイ条件	
抗体固相化プレート	固相化抗体濃度 1.0 μg
前処理	試料 + 1% SDS = 50 μL + 50 μL, 25°C, 10 min
反応プレートへの添加	前処理済試料 + 反応緩衝液 = 50 μL + 150 μL 容量 200 μL, SDS濃度 0.25%
1次反応	25°C, 60 min
2次反応	検出抗体濃度 2.0 μg/mL, 25°C, 60 min
Avi-HRP 反応	Avi-HRP 濃度 50000倍希釈(0.1 μg/mL), 25°C, 60 min
TMB 反応	25°C, 15 min → 反応停止

本条件によって「固相.TA-K/検出.TA-R」と、「固相.TA-W/検出.TA-A」の2つの組み合わせのELISA系において、C-FABPを用いた検量線(100, 50, 25, 12.5, 6.15, 3.125, 1.563 μg/mL)を作製した。なお、検量線のフィッティングカーブは4-Parameter logistic modelを用いて

解析を行った(図16)。「固相.TA-K/検出.TA-R」を図16 Aと、「固相.TA-W/検出.TA-A」を図16 Bに示す。また、本検量線の回帰式を元に試料を試験的に測定し、C-FABP濃度を算出した。表4ではそれぞれのカラム上部にELISA測定系の組み合わせ名(「固相.TA-K/検出.TA-R」、「固相.TA-W/検出.TA-A」およびL-ABP ELISA)を示し、実際の測定ODと濃度換算値を示す。なお、表4中で灰色に示されたセルは測定OD値がバックグラウンド以下になった試料であり、測定値として信頼性が低いため参考値である。

その結果、検量線のR²値は「固相.TA-K/検出.TA-R」系では0.996、「固相.TA-W/検出.TA-A」系では0.997と高い寄与率が得られた。2つの系を比較すると感度、最大シグナル強度共に「固相.TA-W/検出.TA-A」>「固相.TA-K/検出.TA-R」であり、「固相.TA-W/検出.TA-A」の方が優れた検出系であることが確認された。また、試験測定の結果、感度の低い「固相.TA-K/検出.TA-R」系でODが正值を示した2試料については、感度の高い「固相.TA-W/検出.TA-A」系においても正の値を示している。また、同試料をL-FABP ELISA kit(CMIC)を用いて測定したところ、C-FABPの値とL-FABPの値の間に相關関係は見られなかったことから、本系が特異的なC-FABPのシグナルを反映していると考えられた。

以上の結果より、本検討によってC-FABP検出ELISAの試作系が構築できた。しかし、本試作系ではC-FABPの正しい値付けを行っておらず、測定値はあくまでリコンビナントC-FABP Unitであり、また検出感度が非常に低い。そのた

め今後はC-FABP濃度の値付けと抗体の最適化等を行い検出感度の改善を検討する必要があると考えている。

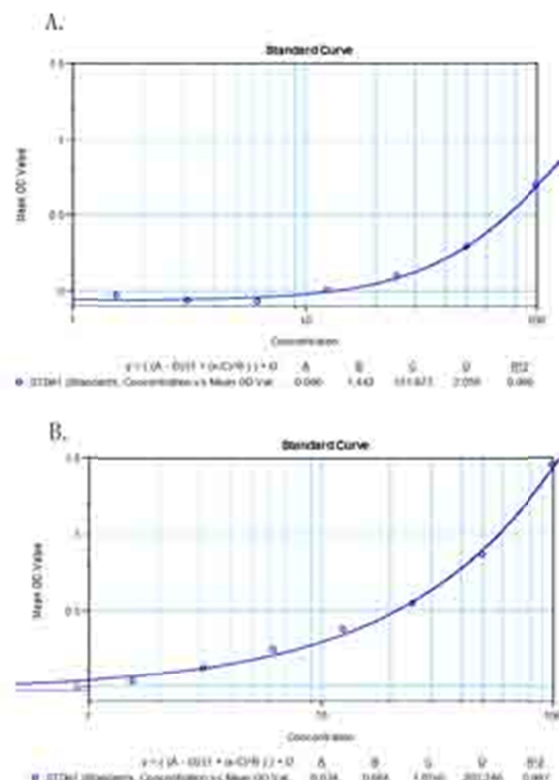


図16、C-FABP抗原の段階希釈検量線

表4. 試料の測定値

試料番号	Well	国TA-P/種TA-R		国TA-W/種TA-B		L-FABP ELISA	
		OD Value	Concentration	OD Value	Concentration	OD Value	Concentration
Un-01	A1	-0.04	7204	0.019	855	0.0	0.6
Un-02	B1	-0.08	0	-0.058	0	4.2	
Un-03	C1	-0.09	0	-0.058	0	0.3	
Un-04	D1	-0.178	0	-0.068	0	89.5	
Un-05	E1	-0.109	0	-0.003	288	1.0	
Un-06	F1	-0.099	0	-0.047	0	1.1	
Un-07	G1	-0.092	0	-0.054	0	5.0	
Un-08	H1	0.071	23742	0.154	4473	0.5	
Un-09	A4	-0.011	12296	-0.045	0	1.3	
Un-10	B4	-0.066	0	-0.048	0	0.1	
Un-11	C4	-0.048	6034	0.005	419	1.8	
Un-12	D4	-0.154	0	-0.1	0	1.4	
Un-13	E4	-0.168	0	-0.071	0	2.5	
Un-14	F4	-0.03	0	-0.010	0	5.6	
Un-15	G4	-0.074	0	-0.046	0	9.9	
Un-16	H4	-0.045	8159	-0.002	311	1.0	
Un-17	A5	-0.04	7203	-0.025	42	4.5	
Un-18	B5	-0.072	0	-0.008	226	0.8	
Un-19	C5	-0.095	0	-0.047	0	0.0	
Un-20	D5	-0.151	0	-0.045	0	1.0	
Un-21	E5	-0.125	0	-0.029	21	1.6	
Un-22	F5	-0.091	0	-0.07	31	0.0	
Un-23	G5	-0.063	1857	-0.023	57	23.7	
Un-24	H5	-0.03	9123	0.011	517	1.3	
Un-25	A6	0.057	21587	0.017	912	1.0	
Un-26	B6	-0.014	11777	-0.035	0	1.1	
Un-27	C6	-0.066	0	-0.058	0	0.4	
Un-28	D6	-0.111	0	-0.04	0	0.1	
Un-29	E6	-0.07	0	-0.032	0	0.3	

*測定値はC-FABP組換え蛋白質を基準にした換算濃度

(rC-FABP Unit = ng/ml)である

*L-FABP ELISAの測定値はng/mlを示す。

3. ヒト脂肪由来幹細胞に関連する微小環境因子・脂肪酸結合蛋白(FABP)の高次構造解析

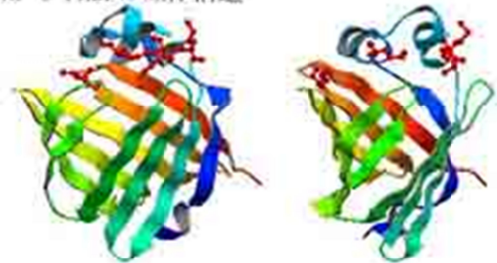
FABP ファミリーは 2 本の ヘリックス鎖とアンチパラレルな 10 本の 鎖からなる二枚貝様構造 (clam shell-like -barrel structure) という特徴的な構造を有している。中でも本ファミリーに属する Liver-type fatty acid binding protein (L-FABP) は生体内において抗酸化的な役割を担っていることが知られている。この機能に関しては未だ明らかになっていない部分が多いが、*in vitro* の実験において L-FABP の 4 種のメチオニン残基の SH 基が酸化されることが抗酸化作用の本体である可能性が報告されている (J Lipid Res. 2009 Dec;50(12):2445-54.)。既存の報告から図 17-1 では C-FABP と L-FABP のアミノ酸配列の比較を示し Met を黄色に色付けした。また、図 17-2 では C-FABP と L-FABP の X 線結晶構造解析による立体構造モデルの比較を示す。図 17-2 A は C-FABP、図 17-2 B は L-FABP を示した。それぞれ左右の図は横に 90° 回転させた像を示し、それぞれのメチオニン残基を赤の ball and stick モデルで示す。この比較から同ファミリーの C-FABP 中のメチオニン残基は 5箇所存在しており、そのうち L-FABP においても保存されているメチオニンは 3 節所存在することが確認できた。このことからも C-FABP が L-FABP と同様の抗酸化作用を有している可能性が考えられる。

そこで本検討では L-FABP の *in vitro* 実験で用いられている AAPH と AMVN というラジカル発生剤を用いて C-FABP を酸化した後、MS 解析を行うことでメチオニンの酸化部位解析を行った。

C-FABP: 1	MATVQQLEGRWRLVDSKGFD EY IKELGVGI
L-FABP: 1	M—SFSGKYQLQSQENFEAF MKAIGLPE
C-FABP: 31	ALRK MGAMAKPDCIIITCDGKNLTIKTESTL
L-FABP: 27	ELI QKGKDIKGVSEIVQNGKHFKFTITAGS
C-FABP: 61	KTTQFSCTLGEKFEETTADGRKTQTVCNFT
L-FABP: 57	KVIONEFTVGECELET MTGEKVKTWVQLE
C-FABP: 91	DGALVQHQENDGKESTI TRKLKDGLVVEC
L-FABP: 87	GDNKLVTFKN—IKSVTELNGDIITNT
C-FABP: 121	VMNNVTCTRIYEKVE-
L-FABP: 113	MTLGDIVFKRISKRI- 127

図 17-1. C-FABP と L-FABP のアミノ酸配列比較

A. C-FABP の立体構造



B. L-FABP の立体構造

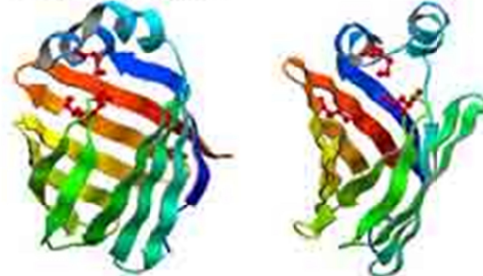


図 17-2. C-FABP と L-FABP の立体構造比較 (PDB)

3-1. C-FABP の酸化処理

上記ヒト C-FABP 組換え蛋白質を用いて実験を行う。水溶性ラジカル発生剤である AAPH と脂溶性ラジカル発生剤である AMVN は、L-FABP を用いた実験で酸化が確認された濃度である終濃度 200 mM, 50 mM で C-FABP と混和し、37° のインキュベータで 90 分間静置し酸化反応を行った。反応後、3K MWCO の限外濾過器を用いて 25 mM 炭酸水素アンモニウム溶液に溶媒を置換した。本試料を 5 mM

炭酸水素アンモニウム溶液中で 5 μg C-FABP につき 50 ng のトリプシンを用いて 37 °C, 6 時間消化反応を行い MS 解析試料とした。

MS解析はLTQ Orbitrap XL (Thermo Fisher Scientific) nanoLC system : ADVANCE UHPLC system (MICHROM Bioresources, Auburn, CA)を用いて行った。試料5 μL をトラップカラム (Column Micro 0.3 × 5 mm; CERI, Japan)に吸着させた後、分離用キャピリリーカラム (Magic C18 AQ nano column , 0.1 × 150 mm; MICHROM, Bioresources)でペプチドを分離した。

クロマトグラフィーの条件は、A液(0.1% ギ酸)B液(100%アセトニトリル)0 - 15 min : B 5% - 45%, 15 - 20 min : B 95%, 20 - 30 min : B 5%。流速 500 nL/min イオンソース : XYZ Stage ion source (AMR)。スプレー・チップ:Fortis Tip (AMR) Spray voltage 1.8 kV, Scan range : 400 to 1800 m/z, Resolution 30000, Top 5 Data dependent Scanとした。

得られたマススペクトルからProteome Discoverer (Thermo Fisher Scientific) を用いてMGF fileを作成し、in houseの MASCOTサーバでデータベース検索を行った。検索条件は、Database : Swissprot Enzyme: trypsin, allow 1 missed cleavage, Taxonomy : Human, Valuable modification : dehydro Cys, oxidation Met, Peptide tol. : 5 ppm, MS/MS tol. : 0.6 Daとした。

その結果、検出されたメチオニンを含むペプチドを図18に示す。検出されたメチオニンを含むペプチドは5種類存在し、と はメチオニンを2つ含んだN末側のリシン(K)の切れ残りの違いに由来する重複ペプチドが確認された。これは末端側

に存在するメチオニンが酸化されることでトリプシンの切断に影響したためではないかと考えている。

ペプチドアノニム配列
1 MATVQQLEGR WRLVDSKGIFD EYMKELGVGI ALRKMGAMAK PDCIITCDGK
51 -NLTIKTESTLKTTOFSCTLG EKFETTADG RKTOTVCNFT DGAJVQHEW
101 -DGKESTITRK LKDGLVVEC VMNNVTCTR IYEKVE

① MATVQQLEGR
② GFDEYMKELGVGI ALR
③ KMGAMAKPDCIITCDGK
④ MGAMAKPDCIITCDGK
⑤ LVVECVMNNVTCTR

重複ペプチド

結果、C-FABPはAAPHによる酸化によって複数のペプチドが生成された。

その結果、ペプチドピーク , , ではメチオニンがAAPH, AMVNによる酸化をほとんど受けていないのに対して、ペプチドピーク ではAMVNの酸化が僅かにすんでおり、ペプチドピーク , , ではAAPHによる酸化が顕著に増加していることが確認された。なおペプチドピーク , , にはメチオニンが2箇所存在しているが、2箇所共に酸化されたと思われる分子量のピークは僅かにしか確認されなかったことから、どちらか部位選択的に酸化される可能性が示唆された。さらに、ペプチドピーク , , にはペプチド内に2つのシステインが存在しており、ペプチド内ジスルフィド結合が存在する場合、プロトンが2つ外れることからS-S結合を含むピークは検出可能である。今回の結果では , , のピークはほとんどがジスルフィド結合を形成したピークとして検出されたことから、酸化剤によりシステインも酸化されていることが確認された（データ未掲載）。

今回の結果から、C-FABPはAAPHによって顕著に酸化を受けることが確認され、そ

のメチオニン酸化部位はMet23と、Met35もしくはMet38のどちらかであり、各所に存在するシステインもデヒドロ化されることが確認された。なお、先に述べたL-FABP酸化実験ではAAPH処理で全てのメチオニンが酸化されることが確認されているが、L-FABPとC-FABPで保存されているメチオニンのうち、C-FABPで酸化されたメチオニンはMet23のみであり、L-FABPでもっとも酸化され易いメチオニンに相当するC-FABPのMet122は全く酸化が確認されなかった。これらの結果をC-FABPの立体構造モデルに適用したものを図19に示す。図17-2で示したC-FABPの立体構造モデルに今回の結果で観察された酸化メチオニンを黄色のball and stickモデルで示す。この結果から、FABPはアイソタイプによって酸化される部位が異なり、抗酸化機能もアイソタイプによって異なる可能性が示唆された。

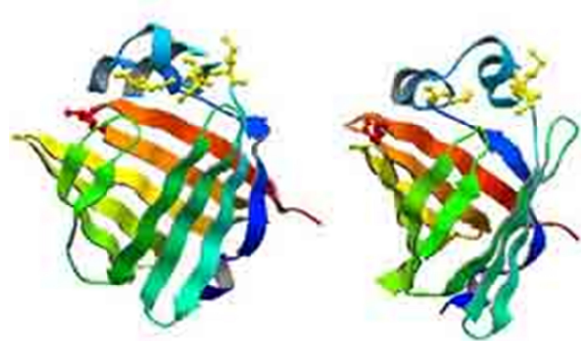


図19. 検出された酸化メチオニンを部位 (PDBj)

さらに、上記2項にて構築したC-FABP検出ELISA系を用いて、本酸化C-FABPの測定を行った。図20 Aに「固相.TA-K/検出.TA-R」を、「固相.TA-W/検出.TA-A」を図20 Bに示し、青線がC-FABP、赤線がAAPH処理C-FABP、緑線がAMVN処理C-FABPの反応曲

線を示し、それぞれのC-FABPタンパク量はNanoOrange Protein Quantitation Kit (Molecular Probes)を用いて総タンパク量を測定し標準化した。その結果、未処理C-FABPとAMVN処理C-FABPの反応曲線はほぼ一致したが、AAPH処理C-FABPはどちらの系でも高い値を示したことから、AAPH処理C-FABPは抗体の認識性が上昇していることが確認された。以上の結果から、C-FABPはAAPHによってメチオニンが酸化され、ELISAにおける抗体認識性の変化が生じる立体構造変化が起こる可能性が示唆された。上記メチオニンの酸化反応の選択性やそれに伴う立体構造の変化がFABPの構造の僅かな違いによるものだと考えると、生体内におけるFABPの立体構造と生理機能が密接に関連しているのではないかと考えられる。

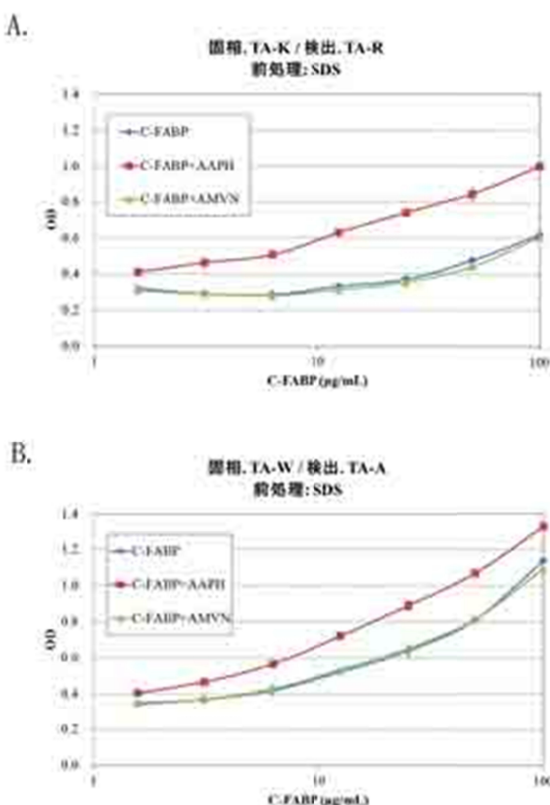


図20. 酸化C-FABPのELISA測定

4. ヒト脂肪由来幹細胞に関連する微小環境因子・脂肪酸結合蛋白(FABP)に対する特異抗体を用いた発現解析

4-1. 遺伝子解析・カスケード解析

前年度に報告した ADSCs と 233A cells への A-FABP 及び C-FABP の添加・共培養後の遺伝子解析の結果を基にカスケード解析を行った結果を Genome Network Platform の PPI ネットワーク解析と Expression profile 解析を用いて再解析を行った。

解析に用いたデータはカスケード解析にて「本現象に関係すると思われる因子リスト」のカウント数が 10 以上の因子で、「ADSCvsA-FABP」では 41 因子、「ADSCvsC-FABP」では 35 因子、「233AvsA-FABP」では 37 因子、「233AvsC-FABP」では 24 因子である。

図 21 に PPI 解析データを示し A は「ADSCvsA-FABP」、B は「ADSCvsC-FABP」、C は「233AvsA-FABP」、D は「233AvsC-FABP」を表した。

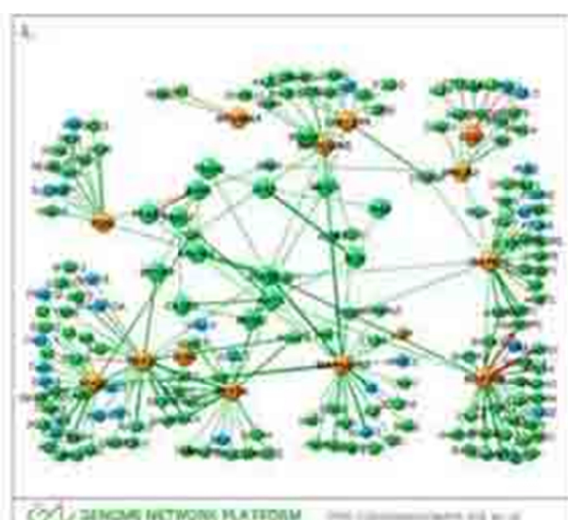


図21. カスケード解析データを用いたPPI解析

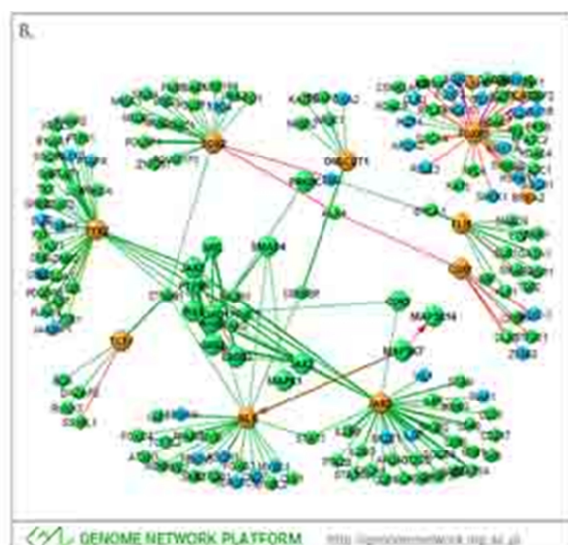


図21. カスケード解析データを用いたPPI解析

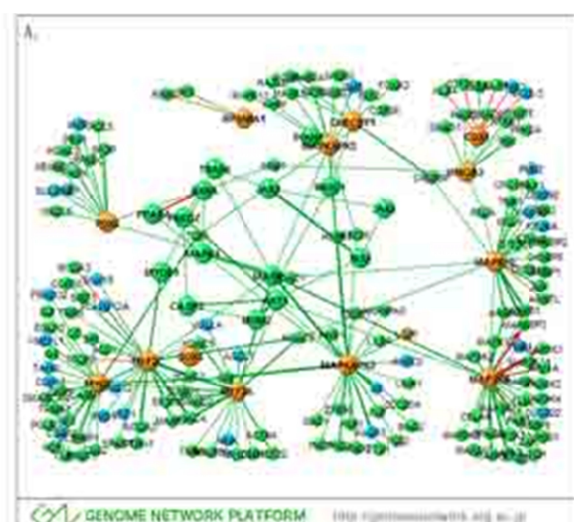


図21. カスケード解析データを用いたPPI解析

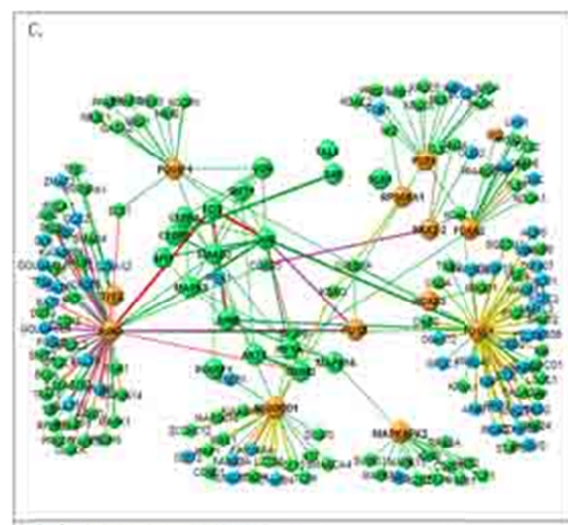


図21. カスケード解析データを用いたPPI解析

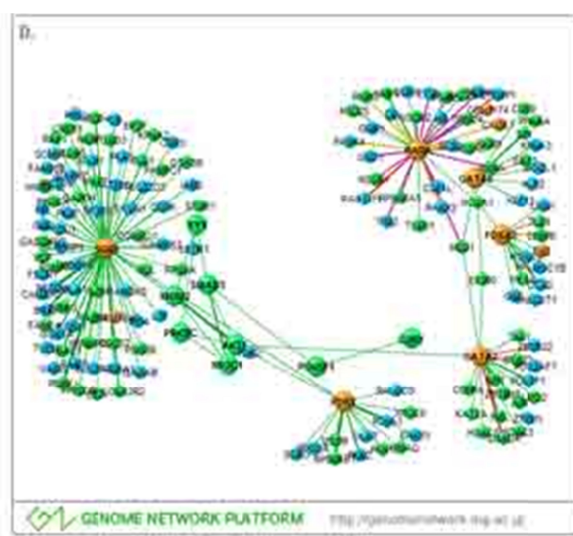


図21. カスケード解析データを用いたPPI解析

という既存の報告と関連があるとすれば非常に興味深い結果である。

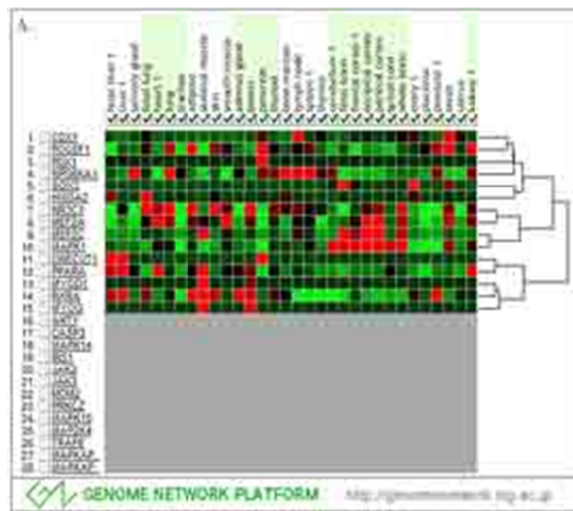


図22. カスケード解析データを用いたExpression profile解析

また、図22には Expression profile 解析の結果を示す。上記同様に本図でもAは「ADSCvsA-FABP」、Bは「ADSCvsC-FABP」、Cは「233AvsA-FABP」、Dは「233AvsC-FABP」を表した。

これらのデータから先に報告した内容と同様にADSCにA-FABPを添加した場合でのみ、関連する因子として検出されたMYOD1やMYOGがskeletal muscleに特異的に存在することが確認できた。しかしながら、筋細胞に発現が確認されていない因子も一部検出されていることから、分化の程度は不十分である可能性が考えられるため、A-FABPの添加条件に関して最適化検討を行う必要があると考えられた。また、PPIネットワーク解析からMYOD1やMYOGと相互作用する蛋白質が判明していることから、今後の解析にはこのような蛋白質の関連もひとつの指標にすることが可能であると考える。一方ADSCにC-FABPを添加した場合で、関連する因子として検出されたFOXP3、FLI1、TCF7などはリンパ節や胸腺に発現が確認された蛋白質であった。これがC-FABPが癌転移と関連している

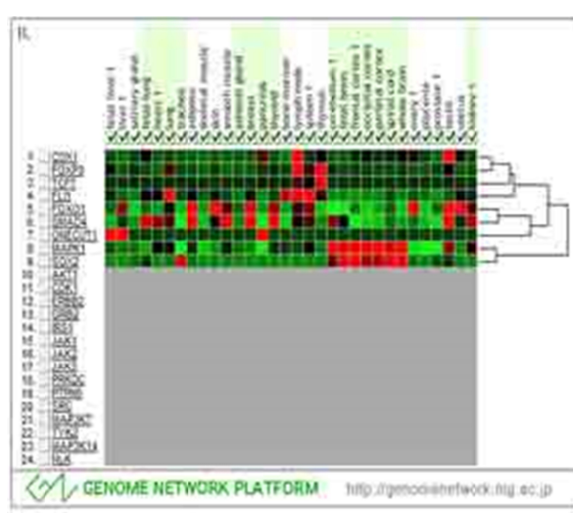


図22. カスケード解析データを用いたExpression profile解析

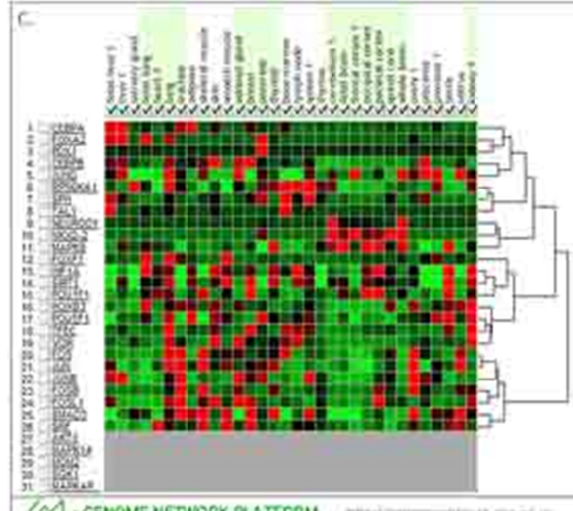


図22. カスケード解析データを用いたExpression profile解析

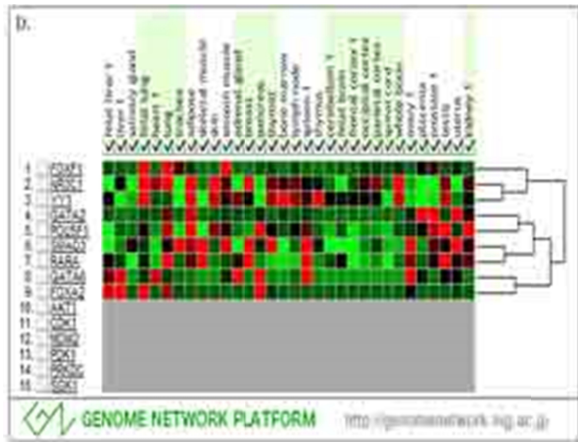


図22. カスケード解析データを用いたExpression profile解析

4-2. メタボローム解析

生体内には核酸（DNA）やタンパク質のほかに、糖、有機酸、アミノ酸などの低分子が存在しており、これらの物質の多くは、酵素などの代謝活動によって作り出された代謝物質（メタボライト）である。細胞の働きを理解しようとするとき、DNA配列の網羅的解析（ゲノミクス）やタンパク質の網羅的解析（プロテオミクス）に加えて、代謝物質の網羅的解析（メタボロミクス）が重要となる。メタボロミクスとは「代謝物質の種類や濃度を網羅的に分析・解析する手法」のことである。これは外部からの刺激（温度や光など環境の変化や薬物摂取、食事など）や疾病などにより代謝が動くと、血液、尿、組織、細胞、液胞などの中に存在する代謝物質の種類や濃度に変化が起こる。その変化を分析することにより、バイオマーカーの探索や代謝の生化学的仮説立案・検証が可能となる。そこで前年度の報告で脂肪組織由来幹細胞（ASCs）と233A cells（Renal epithelial cell line）にC-FABP、A-FABPを添加し共培養し、遺伝子発現解析を行うことでASCsにA-FABP添加特異的に筋細胞への分化と思われる遺伝子発現量の変化が確認されたことから、ASCsにC-FABP、A-FABPを添加し共培養することでASCsで変化するメタボライトを解析することとした。本検討によりFABPが細胞に対してオートクライイン及び、パラクライインに働く機構を解析することを目的とする。また、ASCsへのFABP特異抗体添加でFABPのオートクライイン及び、パラクライインに働く機構の阻害効果を確認するための評価方法としてメトボローム解析が有用かも同時に検討する。

4-2-1. 細胞培養

培養したASCs（ゲラチンコート 10cm^2 ディッシュ）の培地を除去し、HUNK'S BALANCED SALT SOLUTION（SIGMA）で一度洗浄した。その後トリプシン-EDTA（invitrogen）を添加して、37℃のインキュベータで3分ほど静置し、細胞を遊離させた。遊離させた細胞は培地で十分に懸濁し、細胞数をカウントした。その後、細胞懸濁液を1200 rpm, 5分間遠心分離を行い、上清を除去した後 MESEN PRO（invitrogen）によって再度懸濁し $1.4 \times 10^5 \text{ cell/dish}$ でゲラチンコート 10cm^2 ディッシュに細胞を撒き、37℃, 5% CO₂条件で培養を行った。

セミコンフルエントになるまで培養を行った後に、C-FABP、A-FABP組換え蛋白質を終濃度 $1\mu\text{M}$ でASCsに添加し、引き続き37℃, 5% CO₂条件で15時間培養を行った。解析に用いたサンプルを表5に示す。

表5. メタボローム解析試料情報

試料名	試料量 ($\times 10^6 \text{ cells}$)	群名	時系列(hour)
ctrl-1	1.7		15
ctrl-2	1.7	コントロール	15
ctrl-3	1.7		18
C-FABP-1	1.6		15
C-FABP-2	1.6	C-FABP添加	15
C-FABP-3	1.6		15
A-FABP-1	1.6		15
A-FABP-2	1.6	A-FABP添加	15
A-FABP-3	1.6		15
ctrl-LC	1.7	コントロールLC	15
C-FABP-LC	1.6	C-FABP添加LC	15
A-FABP-LC	1.6	A-FABP添加LC	15

4-2-2. 前処理

a. CE-TOFMS 用

培養した細胞の培地を吸引除去し、10mLの細胞洗浄液で洗浄し、再度2mLの細胞洗浄液で洗浄した。洗浄液の取り残しがないように十分に吸引除去を行った細胞に800 μLのメタノール(Wako, 132-14524, AWJ4676)を添加し、ディッシュ全面にメタノールが行き渡る程度に振盪し30秒間静置させた。その後、上記混合液1,000 μLをマイクロチューブに回収し、すぐに氷冷した。得られた回収抽出液を2,300 × g, 4℃, 5分間遠心分離を行い沈殿物を除去した。本上清を2本の限外濾過ユニットに移し、9,100 × g, 4℃, 2-5時間遠心分離を行い完全に液を透過させた。透過した回収液は-80℃にて凍結させサンプルを解析した。

b. LC-MS 用

培養した細胞の培地を吸引除去し、10mLの細胞洗浄液で洗浄し、再度2mLの細胞洗浄液で洗浄した。洗浄液の取り残しがないように十分に吸引除去を行った細胞にメタボライト抽出用エタノール溶液1.3mLを添加し、セルスクレーバーにて細胞を剥離した。抽出液を1.0mLと共に細胞塊も回収し、-80℃にて凍結させサンプルを解析した。本サンプルを1,000 μLのMilli-Q水を加え氷冷しながら超音波で5分間処理した後、遠心分離(2,300 × g, 4℃, 5分)を行い、上清を回収した。これを乾固させ、100 μLの50%イソプロパノール溶液(v/v)に溶解して測定に供した。

c. 細胞数の計測

上記a. b.とは別に同様の操作を行った

細胞を用意し、細胞を回収後、セルカウンターを用いて細胞数を計測した。

4-2-3. CE-TOFMS 解析

本試験ではカチオンモード、アニオンモードを以下に示す条件で行った。

陽イオン性代謝物質（カチオンモード）
装置

Agilent CE-TOFMS system (Agilent Technologies社) 6号機

Capillary : Fused silica capillary i.d.
50 μm × 80 cm

測定条件

Run buffer : Cation Buffer Solution
(p/n : H3301-1001)

Rinse buffer : Cation Buffer Solution
(p/n : H3301-1001)

Sample injection : Pressure injection
50 mbar, 10 sec

CE voltage : Positive, 27 kV

MS ionization : ESI Positive

MS capillary voltage : 4,000 V

MS scan range : m/z 50-1,000

Sheath liquid : HMT Sheath Liquid
(p/n : H3301-1020)

陰イオン性代謝物質（アニオンモード）
装置

Agilent CE-TOFMS system (Agilent Technologies社) 5号機

Capillary : Fused silica capillary i.d.
50 μm × 80 cm

測定条件

Run buffer : Anion Buffer Solution
(p/n : I3302-1023)

Rinse buffer : Anion Buffer Solution
(p/n : I3302-1023)

Sample injection : Pressure injection
50 mbar, 25 sec

CE voltage : Positive, 30 kV

MS ionization : ESI Negative
 MS capillary voltage : 3,500 V
 MS scan range : m/z 50-1,000
 Sheath liquid : HMT Sheath Liquid
 (p/n : H3301-1020)

a. データ処理

CE-TOFMS で検出されたピークは、自動積分ソフトウェアのMasterHands ver.2.13.0.8.h (慶應義塾大学) を用いて、シグナル/ノイズ (S/N) 比が3 以上のピークを自動抽出し、質量電荷比(m/z)、ピーク面積値、泳動時間 (Migration time: MT) を得た。得られたピーク面積値は下記の式を用いて相対面積値に変換した。また、これらのデータには Na^+ や K^+ などのアダクトイオン及び、脱水、脱アンモニウムなどのフラグメントイオンが含まれているので、これらの分子量関連イオンを削除した。しかし、物質特異的なアダクトやフラグメントも存在するため、すべてを精査することはできなかった。精査したピークについて、 m/z とMT の値をもとに、各試料間のピークの照合・整列化を行った。

$$\text{相対面積値} = \frac{\text{目的ピークの面積値}}{\text{内部標準物質の面積値} \times \text{細胞数}}$$

b. 候補代謝物質検索

検出されたピークに対して m/z とMT の値をもとに代謝物質ライブラリ及び Known-Unknown ライブラリに登録された全物質との照合、検索を行った。検索のための許容誤差はMT で $\pm 0.5 \text{ min}$ 、 m/z では $\pm 10 \text{ ppm}$ とした。

$$\text{質量誤差 (ppm)} = \frac{\text{実測値} - \text{理論値}}{\text{実測値}} \times 10^6$$

培養細胞9検体についてCE-TOFMS によるメタボローム解析を行った。代謝物質ライブラリ及びKnown-Unknown ライブラリに登録された物質の m/z 及びMT の値から155(カチオン92, アニオン63)ピークに候補化合物が付与された(表6)。

表6-1 検出された物質の候補化合物

ID	Compound name	Comparison between measured and theoretical values		
		Relative value	p-value	RMSD ^a
A_0001	D-Glucose-6-phosphate	1.1	0.000	1.1
A_0002	Fruuctose-6-phosphate	1.1	0.000	1.1
C_0009	1-Pyrone-5-carboxylic acid	2.5	0.011	1.1
A_0004	Urea-N-hydroxylate	2.0	0.014	1.1
C_0001	Urea-N-oxide	1.6	0.021	1.1
A_0044	Myo-inositol-1-phosphate	1.7	0.000	1.1
C_0008	N-Acetylglutamate	1.6	N/A	1.1
A_0005	Proline-1-Aspartate	1.6	0.004	1.1
C_0026	L-Lysine-2-Aspartate-acid	1.6	0.022	1.1
A_0022	Dihydroxyacetone phosphate	1.6	0.000	1.1
C_0036	eq-A-Mannose	1.6	0.129	1.1
C_0003	Serine	1.6	0.100	1.1
C_0011	Glutathione-SH	1.6	0.000	1.1
C_0006	Cysteine	1.6	0.100	1.1
A_0051	Al-Anthranilate-acid	1.6	0.014	1.1
A_0017	2,3-Oligomericproline-acid	1.6	0.001	1.1
C_0029	Cys	1.6	0.219	1.1
C_0004	Mevalonate	1.6	0.100	1.1
A_0043	Acetyl-CoA	1.6	0.011	1.1
C_0027	Arginine	1.6	0.000	1.1
C_0043	Ornithine	1.6	0.013	1.1
C_0030	Urethane-acid	1.6	0.100	1.1
A_0061	Uridyl-glucuronate-acid	1.6	0.100	1.1
C_0028	Al-Anthranilate	1.6	0.000	1.1
A_0006	Prostaglandin	1.6	0.000	1.1
A_0024	Phenylalanine	1.6	0.076	1.1
A_0018	Cysteic acid-acid	1.6	0.000	1.1
A_0028	XAD-2	1.6	0.000	1.1
C_0018	XODTSE	1.6	0.007	1.1
A_0049	Glycine-1-hydroxylate	1.6	0.000	1.1
C_0026	Histidine	1.6	0.007	1.1
C_0019	Phosphorylase	1.6	0.007	1.1
C_0029	Ornithine	1.6	0.000	1.1
C_0007	Arginine	1.6	0.000	1.1
C_0005	Alanine	1.6	0.000	1.1
C_0007	Asparagine	1.6	0.000	1.1
C_0002	L-Asparagine	1.6	0.010	1.1
A_0061	XAD-2000	1.6	0.013	1.1
C_0029	O-Acetyl-oxime	1.6	0.221	1.1
A_0009	Ornithine-acid	1.6	0.200	1.1
A_0029	DTDP-glucose	1.6	0.194	1.1
A_0027	ATP	1.6	0.113	1.1
C_0009	Cysteine	1.6	0.046	1.1
C_0010	Deoxyribose	1.6	0.001	1.1
C_0004	H2	1.6	0.000	1.1
C_0002	Hydrogen	1.6	0.000	1.1
C_0006	Guo-Gu	1.6	0.003	1.1

表6-1 細胞内化合物が絞り込まれた代謝物質

ID	Compound name	C-FABP 添加群とコントロール群の相対面積値比			
		Ratio ^a	p-value ^b	Ratio ^c	p-value ^d
A_0019	GDP	1.1	0.268	1.1	0.248
A_0024	Lactate	1.1	0.269	1.4	0.027
C_0001	Acetylacetone	1.1	0.269	1.2	0.044
A_0015	Glutathione phosphate	1.1	0.274	1.2	0.001
C_0008	Fme	1.1	0.288	1.3	0.038
C_0007	3-Methylglutaconic acid	1.1	0.291	1.3	0.032
C_0001	Threonine	1.1	0.298	1.4	0.017
C_0001	4-Guanidino-1-butanol	1.1	0.298	1.2	0.032
A_0004	GTP	1.1	0.308	1.2	0.008
A_0008	UDP-glucose	1.1	0.308	1.7	0.018
A_0001	UDP-galactose	1.1	0.308	1.7	0.018
A_0004	CMP-N-acetylgalactosamine	1.1	0.298	1.1	0.047
C_0003	Cysteine	1.1	0.298	1.9	0.001
C_0006	Fructose-1,6-bisphosphate	1.1	0.301	NA	—
C_0012	Ornithine	1.1	0.298	1.1	0.001
C_0028	Tyr	1.1	0.301	1.2	0.010
A_0003	CDP	1.1	0.310	1.2	0.002
C_0001	AA	1.1	0.310	1.2	0.008
A_0009	2-Hydroxyglutaric acid	1.1	0.307	1.1	0.026
C_0009	Succinyl-CoA	1.1	0.307	1.2	0.001
C_0009	Tig	1.1	0.307	1.1	0.008
A_0009	NAD ⁺	1.1	0.304	1.3	0.071
C_0009	Threonine	1.1	0.304	1.1	0.070
C_0002	2-Aminobutyric acid	1.1	0.308	1.0	0.042
A_0001	UTP	1.1	0.304	1.1	0.071
A_0003	UDP-N-acetylgalactosamine	1.1	0.303	1.1	0.002
C_0002	Val	1.1	0.298	1.0	0.018
C_0009	Imp	1.1	0.295	1.1	0.008
C_0007	Hypoxanthine	1.1	0.316	1.1	0.008
A_0009	3-Oxoisobutyrate	1.1	0.316	1.1	0.008
C_0002	3-Oxoisobutyrate	1.1	0.316	1.1	0.008
C_0002	2-Amino-3-hydroxybutyrate	1.1	0.316	1.1	0.008
C_0001	Citrulline	1.1	0.298	1.1	0.001
C_0003	Pyruvate acid	1.1	0.304	1.0	0.078
C_0011	DNA	1.1	0.303	1.1	0.008
C_0007	Glu	1.1	0.299	1.2	0.017
C_0009	me	1.1	0.301	NA	—
C_0001	Uridylate	1.1	0.301	1.2	0.001
C_0001	Uridylate kinase	1.1	0.306	1.1	0.004
C_0002	Fructose-1,6-bisphosphate	1.1	0.310	1.1	0.001
C_0002	2-Amino-3-hydroxybutyrate	1.1	0.310	1.1	0.001
C_0015	β -Adenosine triphosphate	1.1	0.308	1.1	0.001
C_0015	Tyr	1.1	0.306	1.1	0.001
A_0005	Phenylalanine	1.1	0.306	1.1	0.001
C_0009	He	1.1	0.306	1.1	0.001
C_0009	Arginosuccinic acid	1.1	0.306	1.0	0.001
C_0001	Arg	1.1	0.306	1.2	0.001
C_0004	Arg	1.1	0.305	1.1	0.001
C_0001	Lys	1.1	0.301	1.2	0.001

表6-2 細胞内化合物が絞り込まれた代謝物質

ID	Compound name	C-FABP 添加群とコントロール群の相対面積値比			
		Ratio ^a	p-value ^b	Ratio ^c	p-value ^d
A_0021	XAD001	1.0	0.270	1.0	0.006
C_0004	Utp	1.0	0.283	1.1	0.078
C_0021	Pts	1.0	0.278	1.1	0.001
A_0087	AMP ^e	1.0	0.288	0.9	0.003
A_0002	ADP-glucose	1.0	0.279	1.1	0.010
C_0001	CDP-fucose	1.0	0.279	1.1	0.010
C_0001	3-Oxohexanoate	1.0	0.282	1.1	0.010
C_0016	Hypoxanthine	1.0	0.279	1.1	0.010
A_0006	4'-Aminophosphate-1-phosphate	1.0	0.282	1.0	0.011
C_0001	Mannose sulphate	1.0	0.277	1.0	0.006
C_0004	Terp	1.0	0.281	1.1	0.006
C_0009	Gln	1.0	0.280	1.1	0.006
C_0001	β -Ala	1.0	0.284	1.0	0.006
A_0001	Citric acid	1.0	0.277	1.1	0.009
C_0009	N^1 -Ethylguanine	1.0	0.272	1.1	0.011
C_0023	Urease	1.0	0.240	1.1	0.011
C_0006	U-Arg-Lys	1.0	0.283	1.0	0.006
C_0004	Cysteine-glycine dipeptide	1.0	0.281	1.0	0.006
C_0009	Cytidine	1.0	0.282	1.1	0.006
C_0001	3-Phosphoglyceric acid	1.0	0.282	1.0	0.006
C_0043	Thiamine	1.0	0.279	0.9	0.001
C_0040	Adenosine	1.0	0.276	1.1	0.021
A_0008	Fumate acid	1.0	0.286	1.0	0.001
C_0020	XOD010	1.0	0.271	1.1	0.009
A_0013	Malic acid	1.0	0.281	1.0	0.006
C_0030	Taurine	1.0	0.286	1.0	0.001
A_0006	Malic acid	1.0	0.281	1.0	0.006
A_0006	UMP	1.0	0.271	1.1	0.009
A_0006	HNCA	1.0	0.230	1.1	0.006
C_0100	Glutathione (GSSG) disulfide	1.0	0.246	1.2	0.018
A_0008	Diminothiazole-7-phosphate	1.0	0.282	1.0	0.001
A_0004	Lactate deH	1.0	0.246	1.1	0.007
C_0020	Creatine	1.0	0.238	1.0	0.006
A_0014	Threonine acid	1.0	0.270	0.9	0.004
C_0020	Phenylalanine	1.0	0.230	1.0	0.011
A_0006	Isocitrate 6-phosphate	1.0	0.277	1.1	0.001
A_0007	GDP	1.0	0.270	0.9	0.007
C_0001	Glucosidase	1.0	0.281	1.1	0.001
C_0008	N-acetylglucosamine	1.0	0.281	1.1	0.001
A_0008	AMP	1.0	0.271	1.1	0.001
A_0008	ADP	1.0	0.268	1.1	0.001
A_0004	UMT	1.0	0.266	1.1	0.001
A_0012	ETTP	1.0	0.264	0.9	0.001
A_0018	Glucosidase	1.0	0.264	0.9	0.001
A_0011	5-Chlorouracil	1.0	0.268	0.9	0.001
A_0007	Oxalic acid	1.0	0.268	0.9	0.001
A_0009	Ribulose 5-phosphate	1.0	0.266	0.9	0.018
C_0006	2'-Oxyguanosine	1.0	0.266	0.9	0.001
C_0029	2-Amino-3-(hydroxymethyl)-1,3-propanediol	1.0	0.266	0.9	0.018
A_0027	O-Phosphocholine	1.0	0.261	0.9	0.006
A_0006	UDP	1.0	0.260	0.9	0.006
A_0009	CDP	1.0	0.260	0.9	0.006
C_0006	Cysteine	1.0	0.260	0.9	0.006
C_0006	2'-Oxypyrimidine	1.0	0.260	0.9	0.006
C_0006	Oxopurine	1.0	0.264	0.9	0.006
C_0001	Adenosine	1.0	0.257	0.9	0.006
A_0016	Deoxyribose	1.0	0.257	0.9	0.006
C_0006	Hypoxanthine	1.0	0.254	0.9	0.006
C_0009	Kinase	1.0	0.254	0.9	0.006
A_0009	2'-Oxodihydroimidazole	1.0	0.254	0.9	0.006

IDは測定カードの番号と通じる番号からなり、Cはカタオノマー、Aはアーチオノマー。

ND: Not Detected, 調査対象外である。

NA: Not Available, 対象対象外である。データ又はその計算結果が得られなかった。

■値は「—」の値とMTR(%)のMTRデーターに付随する値で示した結果を表示

■値は「—」の値とMTR(%)のMTRデーターに付随する値

ADPなどはC-FABPで総じて低値を示した。A-FABP添加群とコントロール群間比較の結果、40ピークがp<0.05であった(表7-2)。このピークのうち上位にアミノ酸や脂質分解産物が多く含まれており、そのすべてがA-FABP添加群で高値を示した。一方、糖リン酸はC-FABP添加群と同様にA-FABP添加群で高値を示した。

表7-1. C-FABP添加群とコントロール群の群間比較

ID	Compound name	Comparative Analysis	
		HMT DB [†]	A-FABP 添加 vs コントロール
A_0024	Glycerol 3-phosphate	—	59.04
A_0046	myo-inositol 2-phosphate	—	0.001
A_0042	Fructose 6-phosphate	—	0.001
C_0026	Homocysteine	—	0.001
C_0053	Carnitine	—	0.001
A_0045	Glucose 5-phosphate	—	0.001
C_0047	1-Methylcyclohexanone	—	0.010
C_0018	1-Pyrrolidine 5-carboxylic acid	—	0.011
C_0042	Cysteine	—	0.012
A_0051	N-Acetylneurameric acid	—	0.016
C_0098	Guanosine	—	0.016
A_0065	CDP	—	0.018
A_0061	NADPH-diaphorase	—	0.019
C_0002	Adenosine	—	0.021
A_0066	LDP	—	0.020
A_0058	AMP	—	0.021
C_0081	XCO0561	—	0.021
A_0011	S-Oxazepine	—	0.023
A_0036	Phosphocreatine	—	0.027
A_0068	ADP	—	0.038
C_0102	XCO1182	—	0.039
C_0094	Z'-Deoxyguanosine	—	0.040
A_0056	Fructose 1,6-diphosphate	—	0.044
C_0074	N-Acetyltyrosine	—	0.046

表7-2. A-FABP添加群とコントロール群の群間比較

ID	Compound name	Comparative Analysis	
		HMT DB [†]	A-FABP 添加 vs コントロール
C_0047	1-Methylcyclohexanone	—	0.001
A_0045	Glucose 6-phosphate	—	0.003
A_0018	Ethanolamine phosphate	—	0.008
A_0024	Glycerol 3-phosphate	—	0.008
C_0070	Arg	—	0.008
C_0013	Choline	—	0.007
C_0061	His	—	0.009
C_0001	Ethanolamine	—	0.010
C_0028	Thr	—	0.010
A_0020	Palmitic acid	—	0.014
C_0024	Val	—	0.014
A_0052	Dihydroxyacetone phosphate	—	0.015
C_0008	Homocysteine	—	0.016
A_0042	Fructose 6-phosphate	—	0.018
A_0051	N-Acetylneurameric acid	—	0.018
C_0072	Tyr	—	0.018
C_0075	Gly-Acp	—	0.020
C_0081	XCO061	—	0.021
C_0051	4-Guanidinobutyric acid	—	0.022
A_0038	Lauroic acid	—	0.022
A_0013	4-Aminobutyric acid	—	0.023
C_0036	αs-4-Hydroxyproline	—	0.023
C_0102	β-Alanoylmethionine	—	0.023
C_0057	Glu	—	0.024

c. 統計解析 (PCA, HCA)

主成分分析 (PCA)はSampleStat ver.3.14 (HMT) を用いて行った。また、

階層的クラスタリング解析 (HCA)及びHeatmap 表記はPeakStat ver.3.18 (HMT) を用いて行った。両解析とも、データの前処理としてピーク単位での標準化 ($\mu = 0$, $\sigma = 1$)を行っている。

検出されたピークを用いて主成分分析を行った結果を図23に示す。また、階層的クラスタリングを行い、HeatMap 表示させた結果を図24に示す。主成分分析の結果、PC1でA-FABPがコントロール群から分離していることが確認された。これはアミノ酸やTCA回路中間体などが高値であることを示している。また、PC2でC-FABPが他群と分離していることが確認された。これは糖リン酸(解糖系の中間体)が高値であることを示しており、一方でヌクレオシドは低値であることを示している。また、HeatMap 解析の結果でも、A-FABP添加でアミノ酸、TCA回路中間体、核酸(三リン酸化)が高値を示し(図24)、A-FABP、C-FABPどちらのFABPを添加でも共通して上昇しているのが、糖リン酸(解糖系中間体)、長鎖脂肪酸であった。また、コントロール群で高値を示したもののはプリンヌクレオシドであった。これらの測定において、外れ値となる検体が無かったことからデータの信頼性が確認できる。

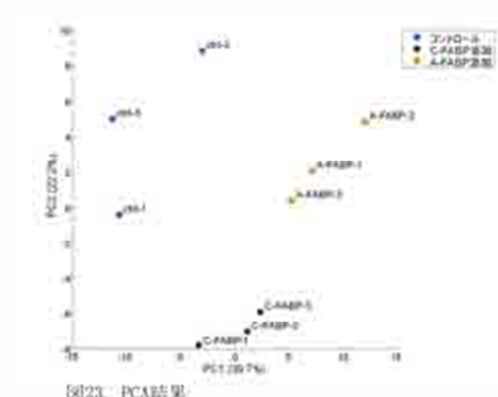


図23. PCA結果
PC1, PC21はそれぞれ第1主成分得点、第2主成分得点を示し、
括弧内の数字は各主成分の寄与率を示す。
各プロットのラベルはサンプル名を示す。

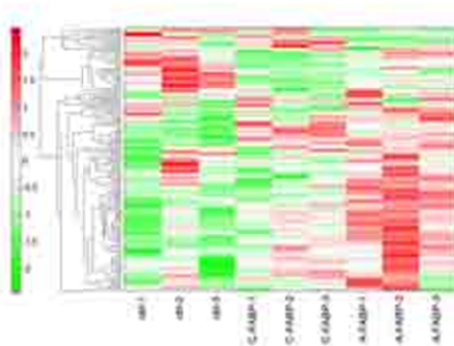


図24. HCA結果(HeatMap表示)
横軸はサンプル名。縦軸はビーグルを示す。
ビーグルに対してHCAを実施し、
ビーグル間の距離は図中の樹形図で表している。
緑が濃いほど平均よりも小さいことを示し、
赤が濃いほど平均よりも大きいことを示す。

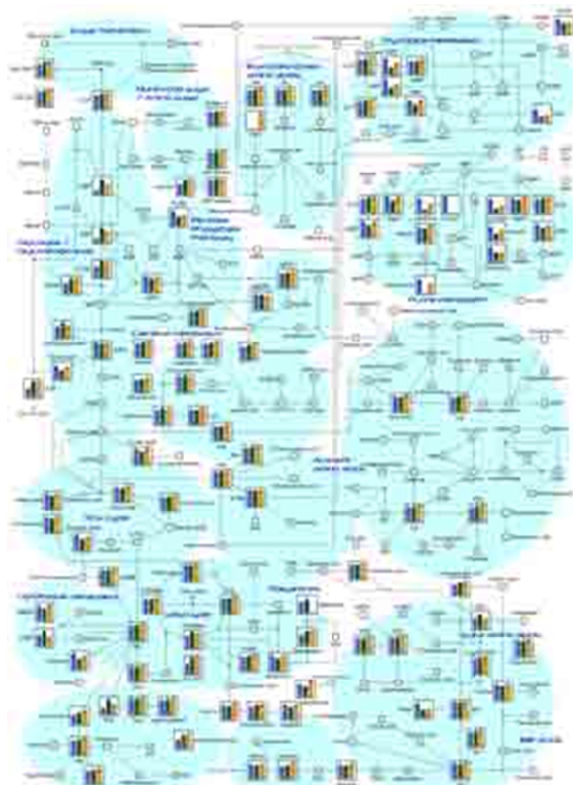


図25. 代謝物質の路線図
VANTED(Visualisation and Analysis of Networks containing Experimental Data)にて作成された路線図。各経路の酵素活性が色で示されている。

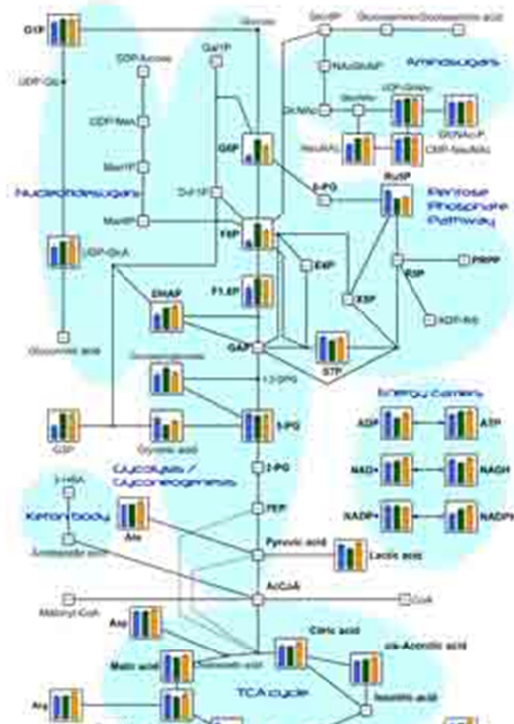


図26. 代謝物質の路線図(拡大表示)
VANTED(Visualisation and Analysis of Networks containing Experimental Data)にて作成された路線図。各経路の酵素活性が色で示されている。

d. 代謝経路の描画

代謝物質定量データの代謝経路マップへの描画を実施した。代謝経路の描画には、VANTED(Visualization and Analysis of Networks containing Experimental Data)を用いた。尚、代謝経路はヒトで確認された酵素を基に作成している。検出されたピークを候補化合物にもとづいて解糖系/糖新生、ペントースリン酸経路、クエン酸回路、尿素回路、プリン・ピリミジン代謝、補酵素代謝及び各種アミノ酸代謝経路に分類し、代謝経路上に描画した(図25~32)。

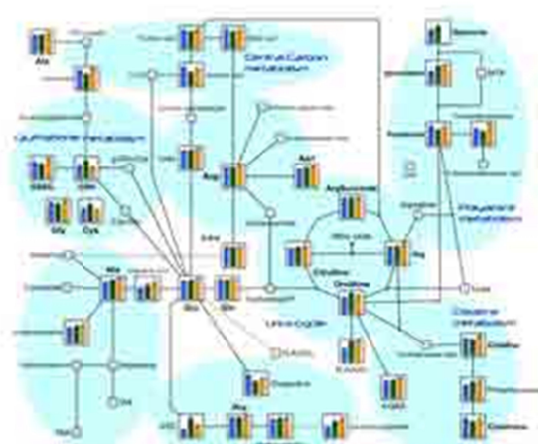


図2: 代表物質の構造図(東京瓦斯会社開発アルゴ酸の代謝)
ALGはアルゴ酸を主成分とする多糖類の一つ。本試験で検出された物質を代謝経路に堆積した。
グラフは左から二重ニコトロール(白色)、右から濃度測定(薄色)、左から濃度測定(濃度)の代謝経路を示す。※ALG Detected

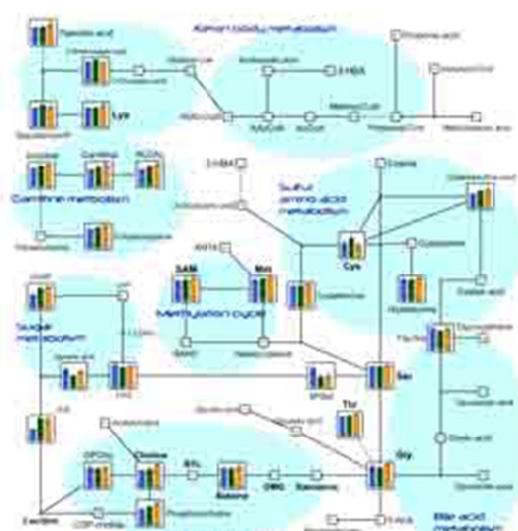
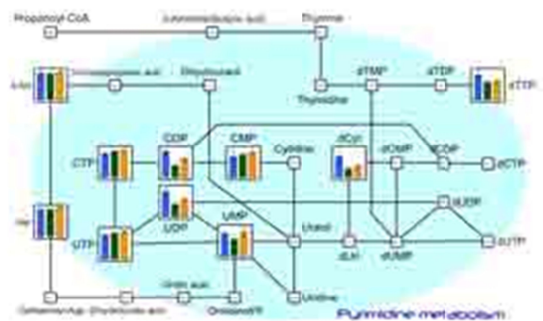
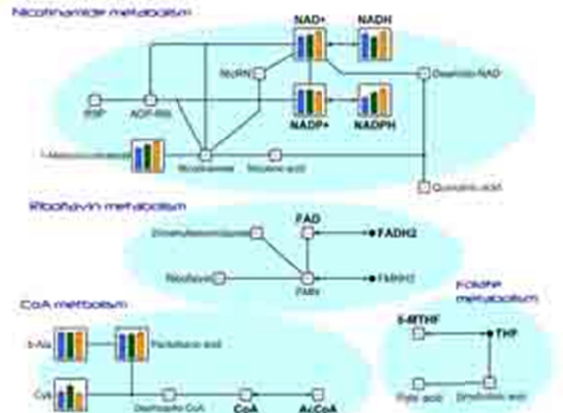


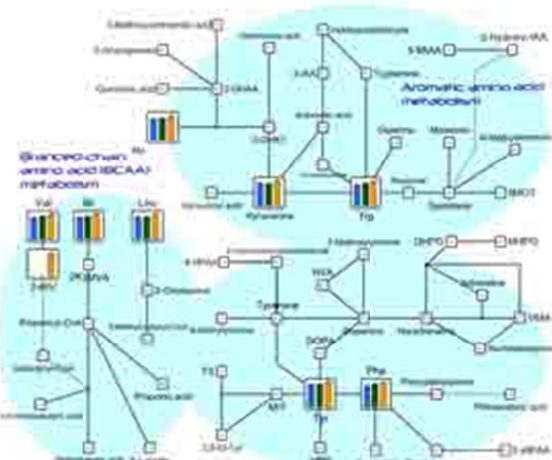
図2 代謝物質の有効性-毒性代謝とアルカロイドの代謝
IMM代謝活性をうつす、豊富な代謝活性をもつ。本試験で被供給された物質を代謝経路に当ぼした。
グラフは左から順にコントロール、C-14アルカロイド(緑色)、ムカシバ豆毒(緑色)の粗胚葉標本を示す。各ムカシバ豆毒。



ANSWER



BRUNO G. TULLIO - www.bruno-g-tullio.com



電球：セイコーアルミ姫路店（070-3333-2788）販売価格：税込1,200円
※MM代用語典ラジオに含まれている代用語典のうち、本取扱説明書に記載されたものと異なる場合は、アラビア数字から順にコメントホールド（黄色）、A-AKB888（黄色）、A-AKB889（緑色）の順に並ぶ場合があります。M.I. See Determination

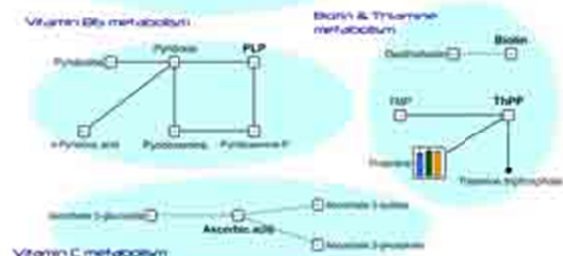


図11：代謝物質の経路図・種類別の内訳
HPLC代謝物質ライプシルに検出されている代謝物質のうち、本試験で検出された物質を代謝経路に沿った。

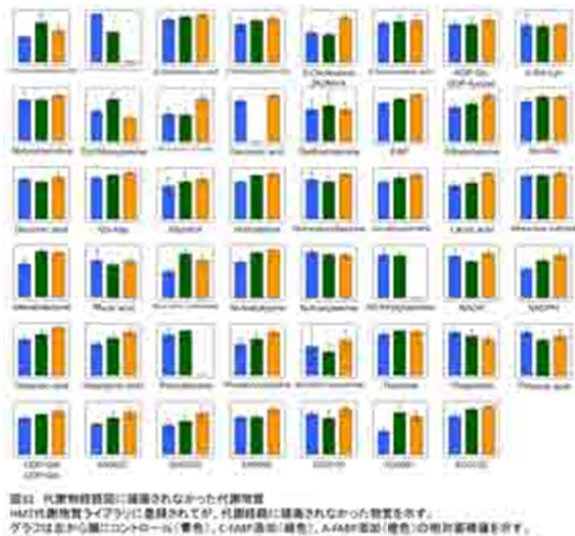


図32 代謝物経路間に通過されなかった代謝物質
HMTA代謝物質ライアリに登録されて、代謝経路に通過されなかつた物質を示す。
グラフは赤から青にコントロール(青色), CHAP添加(緑色), A-FABP添加(緑色)の相対面積値を示す。

4-2-4. LC-TOFMS 解析

本試験では、ポジティブモード、ネガティブモードのLC-TOFMS 測定を以下に示す条件で行った。得られたピーク強度から判断して、注入量は1 μ Lとした。陽イオン性代謝物質（ポジティブモード）装置

LC system : Agilent 1200 series RRLC system SL (Agilent Technologies 社)
Column : ODS column, 2 × 50 mm, 2 μ m
MS system : Agilent LC/MSD TOF (Agilent Technologies 社) 4 号機

測定条件

Column temp. : 40
Mobile phase : A : H₂O / 0.1% HCOOH
Mobile phase : B : Isopropanol:
Acetonitrile: H₂O (65:30:5) / 0.1% HCOOH, 2 mM HCOONH₄
Flow rate : 0.3 mL / min

Run time : 20 min
Post time : 6 min
Gradient condition : 0-0.5 min : B 1%,
0.5-13.5 min : B 1-100%, 13.5-20 min :
B 100%
MS ionization mode : ESI Positive
MS Nebulizer pressure : 40 psi

MS dry gas flow : 10 L / min
MS dry gas temp : 350
MS capillary voltage : 4,000 V
MS scan range : *m/z* 100-1,700

陰イオン性代謝物質(ネガティブモード)装置

LC system : Agilent 1200 series RRLC system SL (Agilent Technologies 社)
Column : ODS column, 2 × 50 mm, 2 μ m
MS system : Agilent LC/MSD TOF (Agilent Technologies 社) 4 号機

測定条件

Column temp. : 40
Mobile phase : A : H₂O / 0.1% HCOOH
Mobile phase : B : Isopropanol:
Acetonitrile: H₂O (65:30:5) / 0.1% HCOOH, 2 mM HCOONH₄
Flow rate : 0.3 mL / min
Run time : 20 min
Post time : 6 min
Gradient condition : 0-0.5 min : B 1%,
0.5-13.5 min : B 1-100%, 13.5-20 min :
B 100%
MS ionization mode : ESI Negative
MS Nebulizer pressure : 40 psi
MS dry gas flow : 10 L / min
MS dry gas temp : 350
MS capillary voltage : 4,000 V
MS scan range : *m/z* 100-1,700

a. データ処理

検出されたピークは、自動積分ソフトウェアのMasterHands ver.2.13.0.8.h (慶應義塾大学)を用いて、シグナル/ノイズ(S/N) 比が3 以上のピークを自動抽出し、質量電荷比 (*m/z*)、ピーク面積値、保持時間 (Retention time: RT)を得た。得られたピーク面積値は下記の式を用いて相

対面積値に変換した。また、これらのデータには Na^+ や K^+ などのアダクトイオン及び、脱水、脱アンモニウムなどのフラグメントイオンが含まれているので、これらの分子量関連イオンを削除した。しかし、物質特異的なアダクトやフラグメントも存在するため、すべてを精査することはできなかった。精査したピークについて、 m/z と RT の値をもとに、各試料間のピークの照合・整列化を行った。

$$\text{相対面積値} = \frac{\text{目的ピークの面積値}}{\text{内部標準物質の面積値} \times \text{細胞数}}$$

b. 候補代謝物質検索

検出されたピークに対して m/z と RT の値をもとに代謝物質ライプラリに登録された全物質との照合、検索を行った。検索のための許容誤差は RT で $\pm 0.5 \text{ min}$ 、 m/z で $\pm 10 \text{ ppm}$ とした。

$$\text{質量誤差 (ppm)} = \frac{\text{実測値} - \text{理論値}}{\text{実測値}} \times 10^6$$

培養細胞 3 検体について LC-TOFMS によるメタボローム解析を行った。HMT 代謝物質ライプラリに登録された物質の m/z 及び RT の値から 20 ピークに候補化合物が付与された（表8）。

表8 候補化合物印捺り込まえた代謝物質

#	Chemical name	m/z	RT
P_0001	Acetylacetone	57	1.8
P_0017	Fatty acid	60	2.0
P_0006	Glucosamine	65	2.9
P_0005	Urea acid	66	2.4
P_0004	Phenyl acid	68	1.1
P_0003	Fructose monophosphate	69	0.9
P_0008	3-Hydroxyglutamate	71	2.3
P_0016	L-Glutamate	74	2.0
P_0020	1,2-Dihydroxyacetone-2-palmitate	75	0.7
P_0018	Fructose	76	2.5
P_0002	Sorbitol	78	2.0
P_0019	1-Hydroxy-2-acetyl-2-ketoglutarate	79	2.9
P_0012	3-Hydroxy-glut-2-pyrophosphate	83	1.3
P_0013	4-Hydroxy-glut-2-pyrophosphate	84	1.3
P_0018	Adenosylpyrophosphate	86	0.8
P_0008	Urea	87	2.9
P_0019	3-Hydroxy-glut-2-pyrophosphate	90	2.9
P_0020	Sorbitol-6-phosphate	91	0.7
P_0001	Urea	92	2.5
P_0007	Urea acid	94	1.5

c. 候補化合物の描画

描画にはVANTED (Visualization and Analysis of Networks containing Experimental Data) 4)を用いた。絞り込まれた候補化合物をアシルカルニチン、脂肪酸及びその他の物質に分類し、描画した（図33～35）

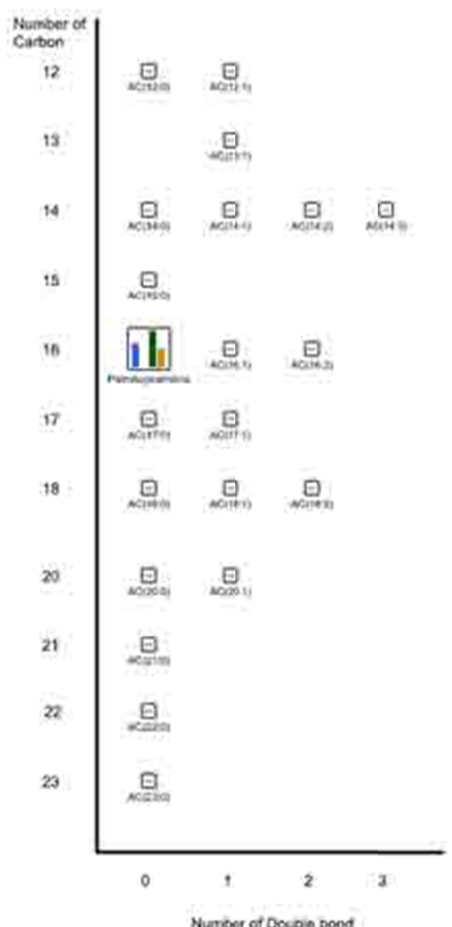
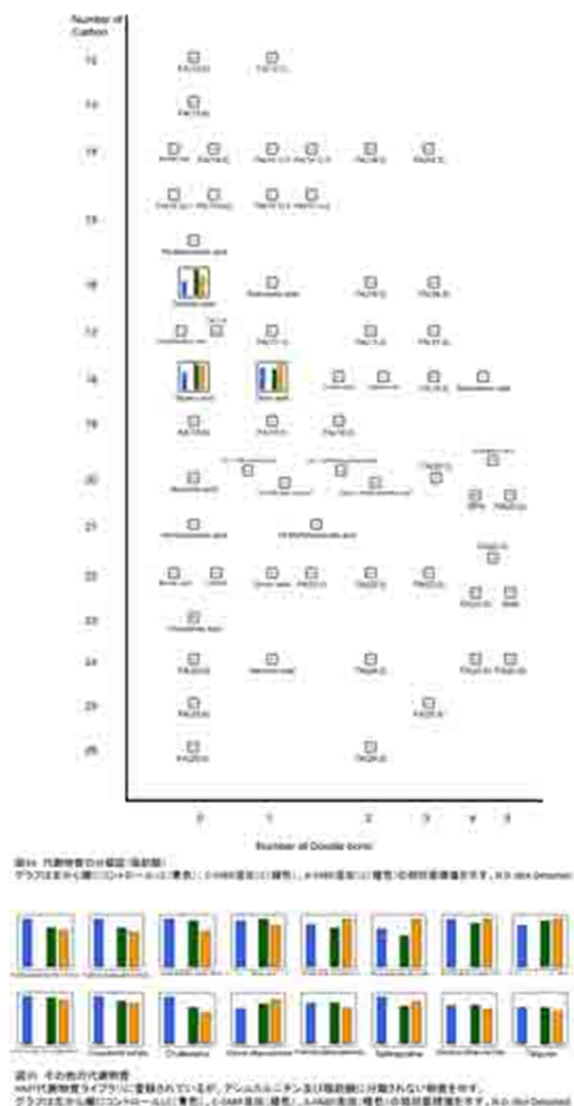
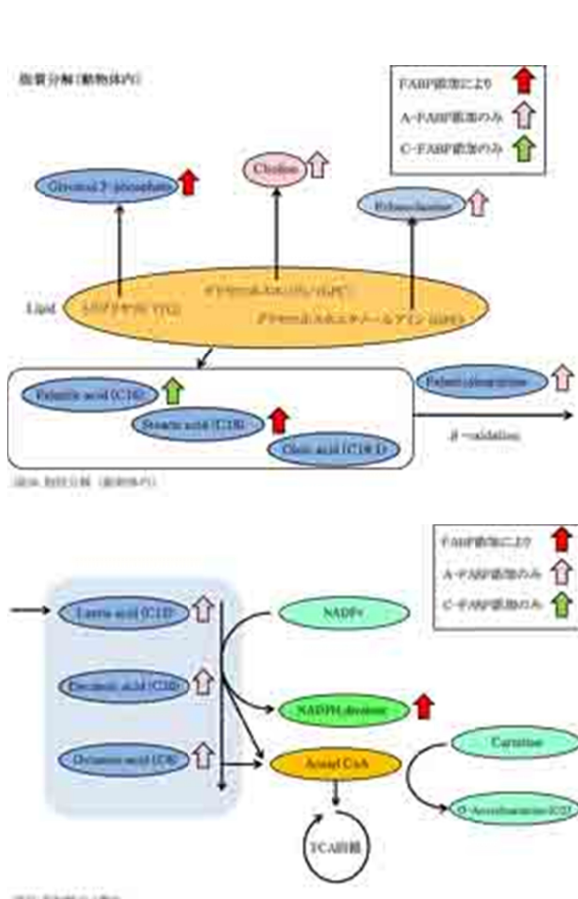


図33 候補代謝物質の分類図 (アシルカルニチン、脂肪酸、その他の物質)。VANTED (Visualization and Analysis of Networks containing Experimental Data) 4)を用いて作成。XCO-Met (Metabolite)



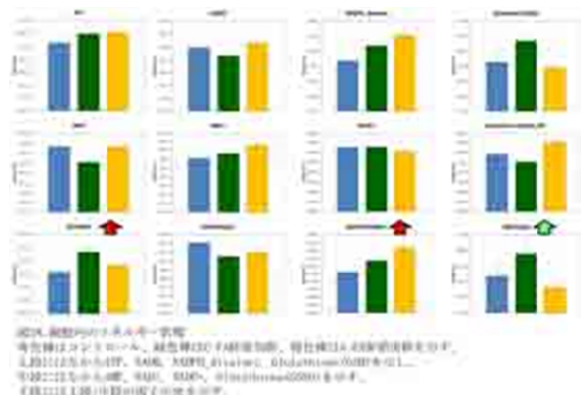
4-3. メタボローム解析の考察

CE-TOFMS と LC-TOFMS 測定の有意差検定による群間比較解析の結果、アミノ酸及びその代謝中間体の多くが A-FABP 添加群で高値であった。また、FABP 添加に共通した特徴として、(Glycerol 3-phosphate)G3P や(Dihydroxyacetone phosphate)DHAP の高値が確認されたことから、脂質(主にトリグリセリド)の分解、取り込みの亢進が推測された。また、A-FABP 添加では Choline や Ethanolamine も高値であることから、あわせてリン脂質の分解、取り込みが亢



さらに、核酸代謝においては、C-FABP 添加群では核酸プールが低値を示しており、C-FABP 添加では DNA 複製や転写活性化によりヌクレオチドの消費が激しくなり、それを補充する役割としてペントースリン酸回路が亢進される可能性が考えられた。さらに、C-FABP 添加群では糖代謝では解糖系上流中間体の蓄積が大きかった。この現象は今回の結果だけで論じるのは困難だが、仮説としては G3P が上昇していることから、解糖系への糖リン酸の供給はこの G3P 由来で補われていることや、ペントースリン酸回路を経由しての NADPH 産生などが考えられる。またグルタチオンの拳動として、GSH と GSSG の量比から GSH が優勢に傾いており、細胞内の酸化還元状態はコントロールとも異なる拳動を示し

た(図38)。



以上の結果から、本試験では FABP 添加により、脂質、糖、アミノ酸など広範囲な代謝変化が誘導されることを確認した。C-FABP 添加と A-FABP 添加は異なる特徴が観察されており。酸化の亢進や阻害を断定するためには、Acetyl CoA、Malonyl CoAなどの産物・前駆体の挙動を変化条件の強度や時間等のプロファイルリング比較を行い、更なる解析が望まれる。

C. 考察

1) ヒト脂肪由来幹細胞に関連する微小環境因子・脂肪酸結合蛋白(FABP)を検出しうる抗体の大量調製

5株のハイブリドーマと4種の抗C-FABPモノクローナル抗体を取得した。抗体量としてはそれぞれ数十mgの抗体を確認し、以降の評価に十分な量の取得に成功した。

2) ヒト脂肪由来幹細胞に関連する微小環境因子・脂肪酸結合蛋白(FABP)の検出系構築

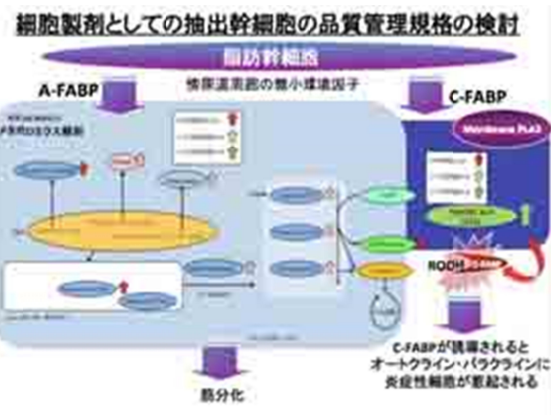
2組のC-FABP検出ELISA系の構築に成功し、試料を測定することでC-FABP特異的なシグナルを確認した。しかし、値

付けや感度の問題があるため更なる検討が必要である。本検討で構築した系をASCsの筋細胞分化の品質管理に利用することを検討する。

3) ヒト脂肪由来幹細胞に関連する微小環境因子・脂肪酸結合蛋白(FABP)の高次構造解析

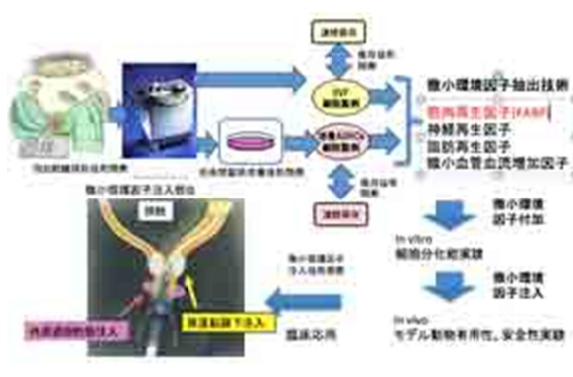
C-FABP組換え蛋白質を酸化させることで2個のメチオニンが酸化されたことが確認された。また、C-FABPが酸化されることでC-FABP ELISA反応性が上昇したことから、抗体認識性に影響を及ぼすC-FABPの高次構造変換が生じた可能性が示唆された。生体内においても同様の酸化修飾が起こりうる場合、C-FABPの高次構造変換が生理機能に影響を及ぼす可能性が考えられた。以上のことから、ASCsの筋細胞分化の品質管理において酸化C-FABPがどのように影響するのかということにも焦点を当てながら検討を行う必要があると考える。

4) ヒト脂肪由来幹細胞に関連する微小環境因子・脂肪酸結合蛋白(FABP)を用いた発現解析



カスケード解析のデータを用いたPPIネットワーク解析及びExpression profile解析の結果から、ADSCにA-FABP

を添加する事象に筋細胞に発現が確認される因子を再度確認することができた。また、メタボローム解析の結果から、FABP 添加に共通した現象としては、糖リン酸（解糖系中間体）、長鎖脂肪酸の上昇が確認されたことから、脂質（主にトリグリセリド）の分解、取り込み亢進が推測された。A-FABP 添加特異的な現象としてはアミノ酸やTCA回路中間体、核酸（三リン酸化）、CholineやEthanolamineも上昇が確認されことから、リン脂質の分解取り込みも亢進したと推測された。C-FABP 添加特異的な現象としてはプリンヌクレオチド類の減少が確認され、細胞内のGSH/GSSG比も異なる挙動が確認されたことから、細胞増殖亢進や細胞内酸化還元状態の偏りが推測された。今回の結果だけでは前年度の報告にあるASCsへのA-FABP添加による筋細胞への分化という現象を評価することができなかつたが、FABP添加による脂質の取り込み亢進が起きることや、A-FABP添加とC-FABP添加でTCA回路の依存度が異なる可能性が考えられるため、2者の間にエネルギー獲得経路の異なる特性をもつ細胞に分化している可能性も考えられた。今後はさらにA-FABP添加による分化を添加量や共培養時間を検討し、オミクス解析を用いて筋細胞への分化を追うと共に、代謝物質の解析からも品質管理の検討を行う。また、A-FABP及びC-FABPのオートクライン、パラクラインに細胞に作用する機能を特異的抗体を用いて阻害できるかについての検討も必要となる。腹圧性尿失禁に対するADRCsが作り出す微小環境因子を活用した治療法、診断法の開発について下記の図に示す。



腹圧性尿失禁症例において、傍尿道周囲に注入するADRCsから分泌され、筋分化を促進するFABPを測定することによって、FABPがADRCsを作り出す微小環境を反映する臨床バイオマーカとなる可能性が示唆された。

D. 結論

*In vivo*においてFABPは、代謝亢進を介したASCsの新規・筋分化バイオマーカの可能性が示唆された。

E. 研究発表

論文発表

- Yamamoto T, Gotoh M
Editorial comment to Sacral Neuromodulation Effective Option for Non-Obstructive Urinary Retention In Men with Cerebral Palsy Int J Urol. 2013 in press
- Funahashi Y, Yoshida M, Yamamoto T, Majima T, Takai S, Gotoh M.
Intravesical Application of Rebamipide Suppresses Bladder Inflammation in a Rat Cystitis Model. J Urol. 2013 Nov 18. doi:pii: S0022-5347(13)05979-X. 10.1016/j.juro.2013.11.026. [Epub ahead of print]

3. Hamasaki Y, Doi K, Maeda-Mamiya R, Ogasawara E, Katagiri D, Tanaka T, Yamamoto T, Sugaya T, Nangaku M, Noiri E, A 5-hydroxytryptamine receptor antagonist sarpogrelate reduces renal tubulointerstitial fibrosis by suppressing PAI-1 AJP Renal 2013 Dec 15;305(12):F1796-803.
4. Gotoh M, Yamamoto T, Kato M, Majima T, Toriyama T, Kamei Y, Hirakawa, A, Mastukawa Y, Funahashi Y Regenerative treatment of male stress urinary incontinence by periurethral injection of autologous adipose-derived regenerative cells: 1-year outcomes in 11 patients Int J Urol. 2013 Aug 29. doi: 10.1111/iju.12266. [Epub ahead of print]
5. Yamamoto T, Gotoh M. Editorial Comment to Regenerative medicine as a new therapeutic strategy for lower urinary tract dysfunction. Int J Urol. 2013 Jul;20(7):675. doi: 10.1111/iju.12173. Epub 2013 May 15.
6. Yamamoto T Editorial Comment to Contrast-enhanced transrectal ultrasonography for the measurement of prostate cancer tumor size in the peripheral zone and correlation with radical prostatectomy specimens Int J Urol. 2013 May 20. doi: 10.1111/iju.12164. [Epub ahead of print] No abstract available.
7. Yamamoto T, Funahashi Y, Mastukawa Y, Kato M, Yoshino Y, Gotoh M

NPRETREATMENT OF RENAL SUPSCAPULAR ADMINISTRATION OF ADIPOSE TISSUE-DERIVED STEM CELLS AMELIORATE ISCHEMIA-REPERFUSION-INDUCED ACUTE KIDNEY INJURY Hirosaki Med .J. 64 (Suppl.) : S1—S3 , 2013

F. 知的財産権の出願・登録状況

1. 特許取得

1) 高濃度脂肪組織由来間葉系幹細胞含有脂肪による声門閉鎖不全の治療 発明者 藤本保志、鳥山和宏、西尾直樹、須賀研治、亀井 譲、高成啓介、後藤百万、山本徳則、岩田義弘、内藤健晴 特許願人 名古屋大学 出願日 平成 26 年 2 月 4 日 特願 2014-019425

2) 精子活性化方法及びその用途

山本 徳則、鈴木 哲、松川 宣久、舟橋 康人、佐藤 義朗、後藤 百万、村瀬 哲磨 特許願人 名古屋大学 出願日 平成 25 年 10 月 25 日 特願 2013-222630

3) 尿路感染症の予防又は治療

山本徳則、柴田玲、渕 真悟、鈴木哲、舟橋康人、後藤百万 特許願人 名古屋大学 出願日平成25年10月21日特願2013-215980

4) 細胞製剤及び細胞の活性を高める方法

山本徳則、渕真悟、竹田美和、鈴木哲、柴田玲、舟橋康人、後藤百万、大山力、飛澤悠葵 特許願人 名古屋大学 出願日平成 25 年 1 月 21 日 特願 2013-008355 国際出願 2014 年

1月18日(PCT/JP2014/050862)

2. 実用新案登録

なし

3. その他

なし